

図5 (1) 盛土におけるベンゼン土壤溶出量の平面分布
(土壤ガス調査結果に基づくボーリング調査結果)

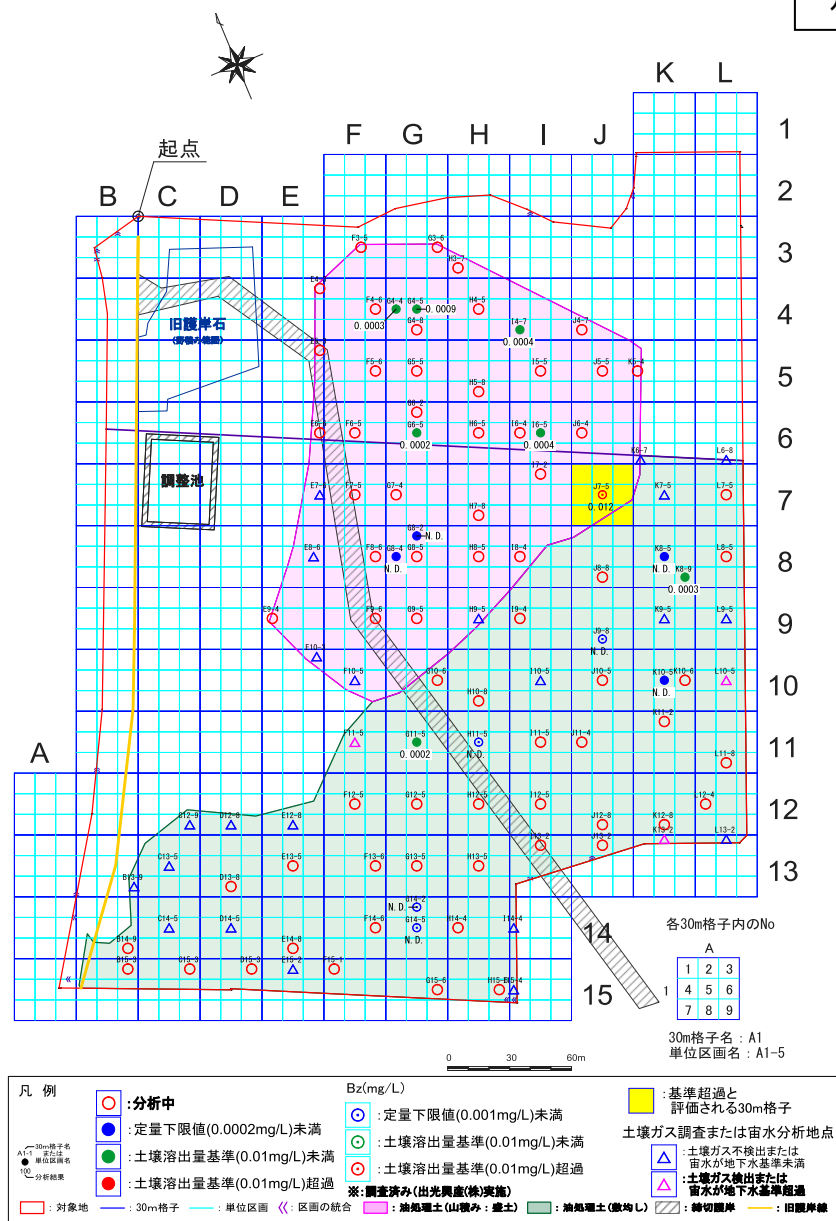


図5 (2) 盛土におけるベンゼン土壤溶出量の平面分布
(盛土を対象とした深度別土壤調査結果)

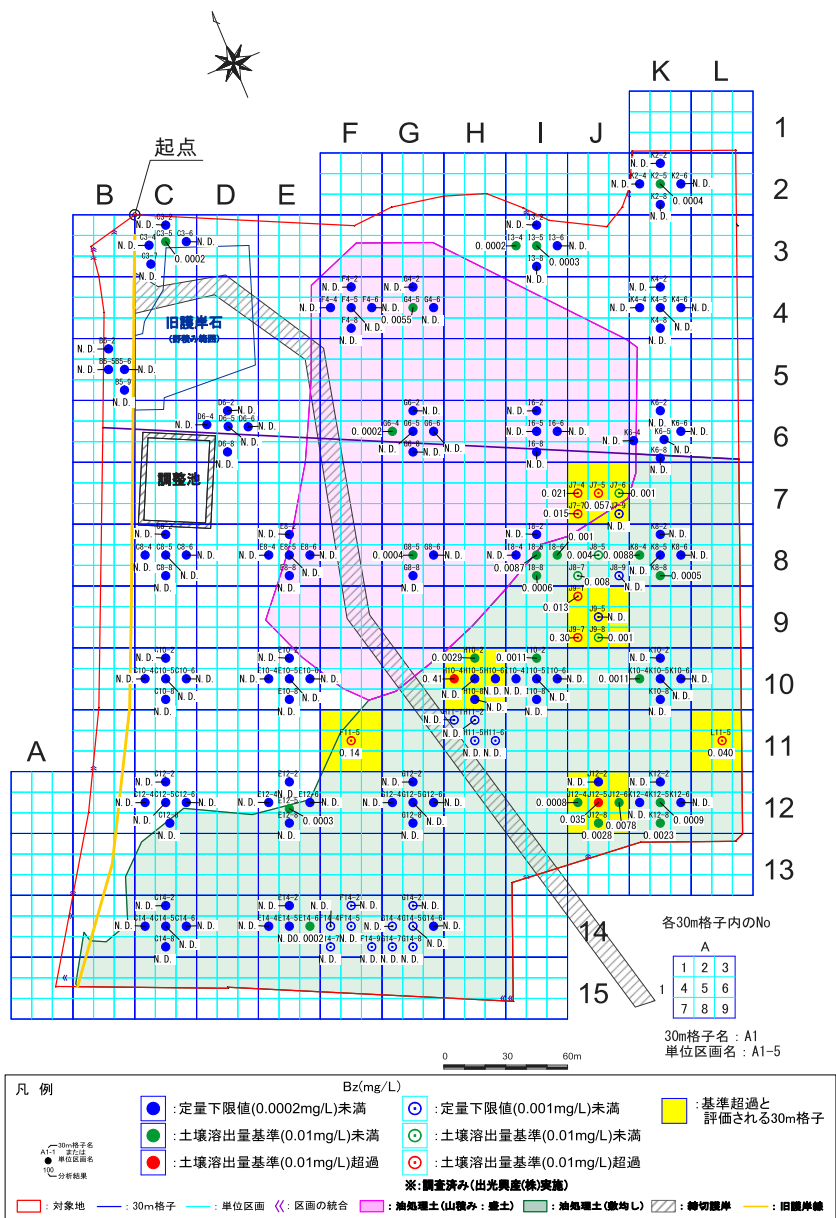


図5 (3) 埋土におけるベンゼン土壤溶出量の平面分布

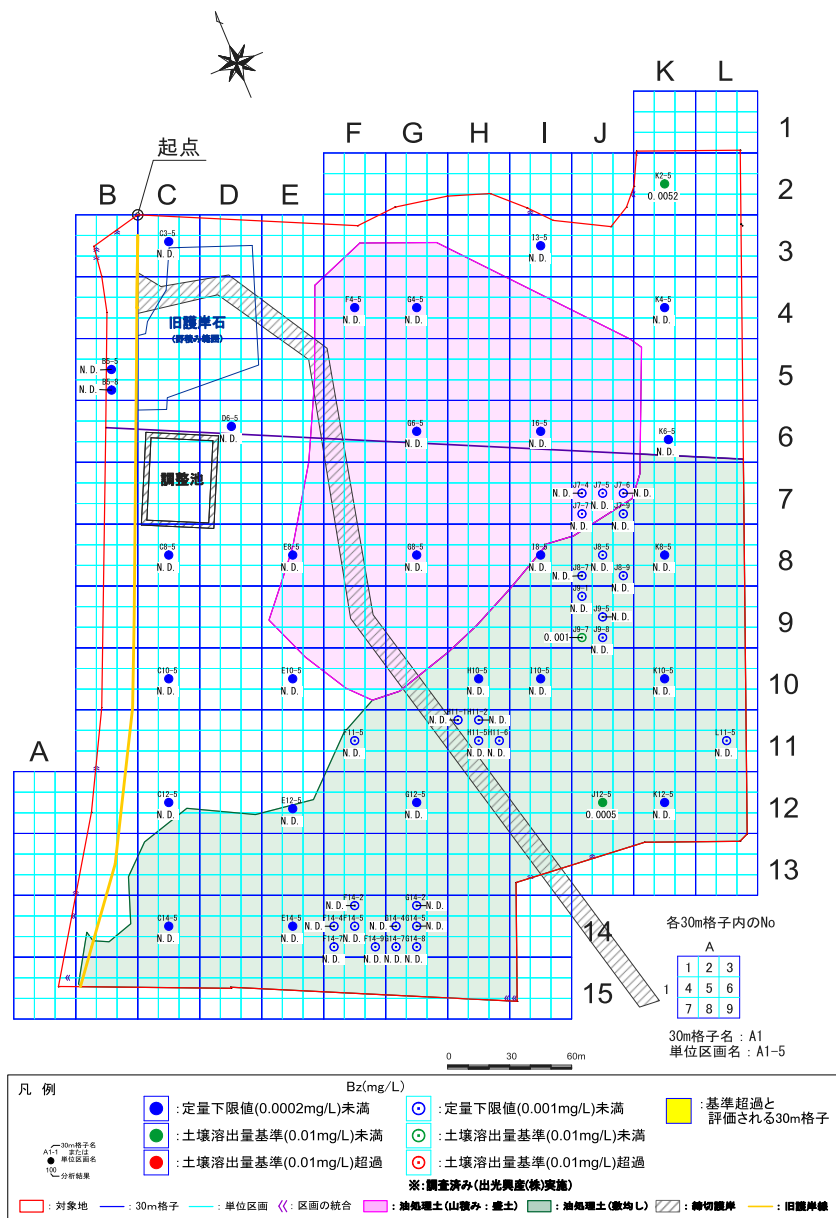


図5 (4) 自然地盤におけるベンゼン土壤溶出量の平面分布

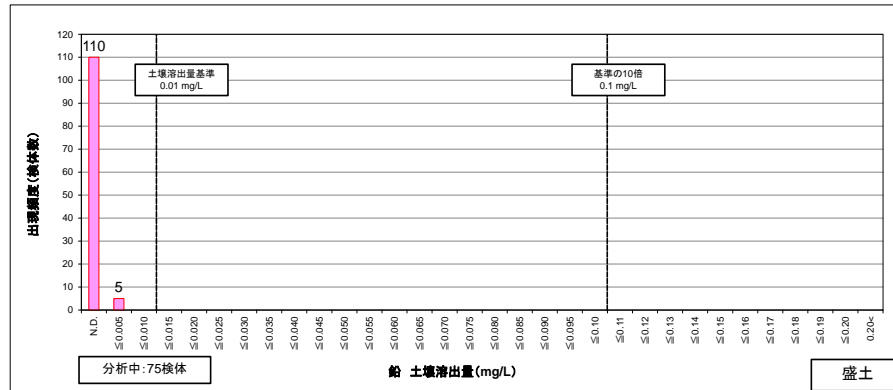


図6 (1) 盛土における鉛土壤溶出量の検出頻度分布

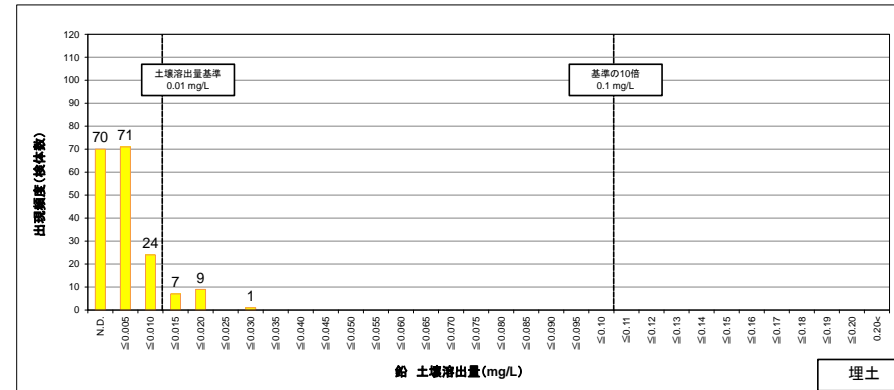


図6 (2) 埋土における鉛土壤溶出量の検出頻度分布

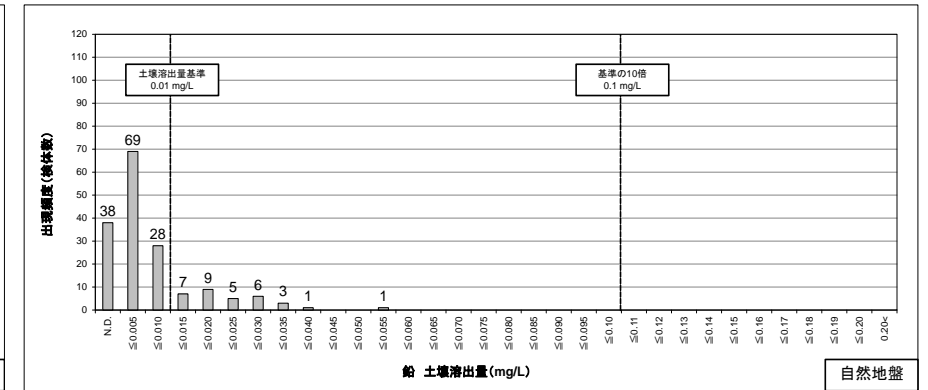


図6 (3) 自然地盤における鉛土壤溶出量の検出頻度分布

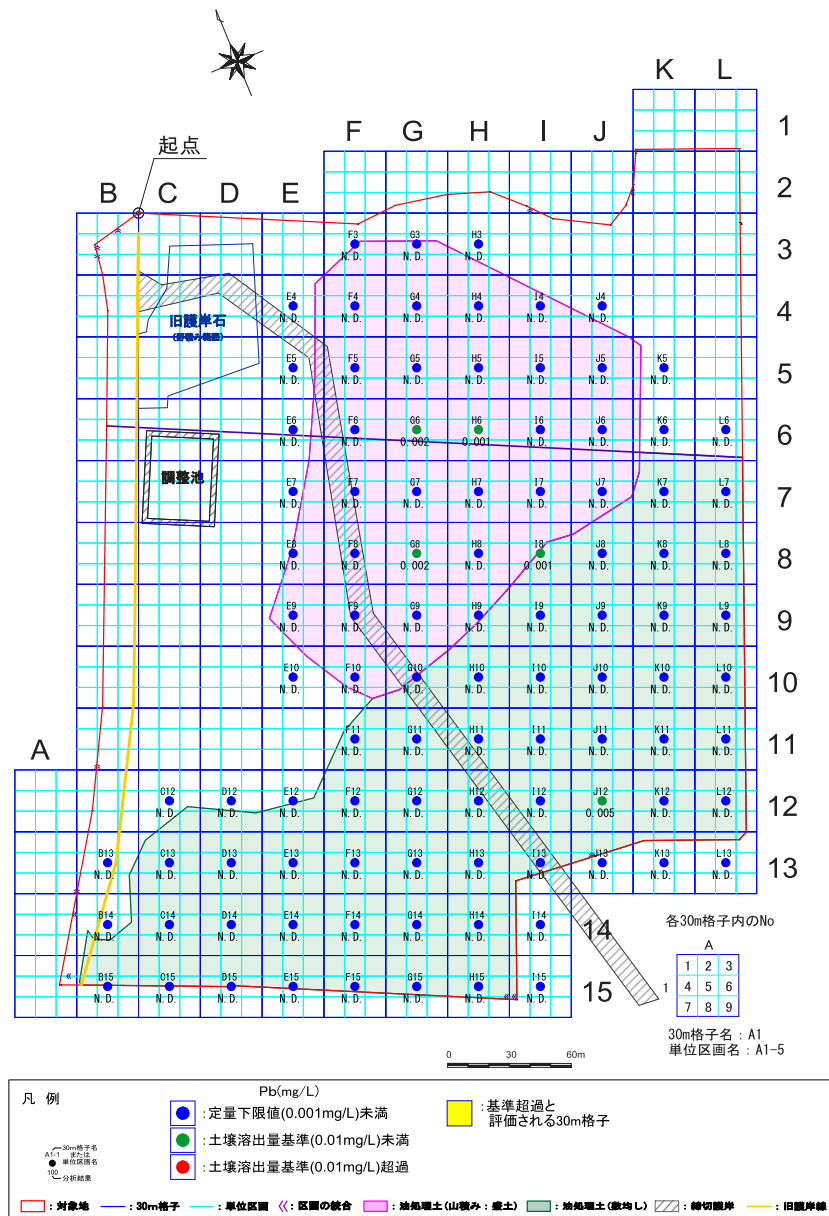


図7 (1) 盛土における鉛土壤溶出量の平面分布

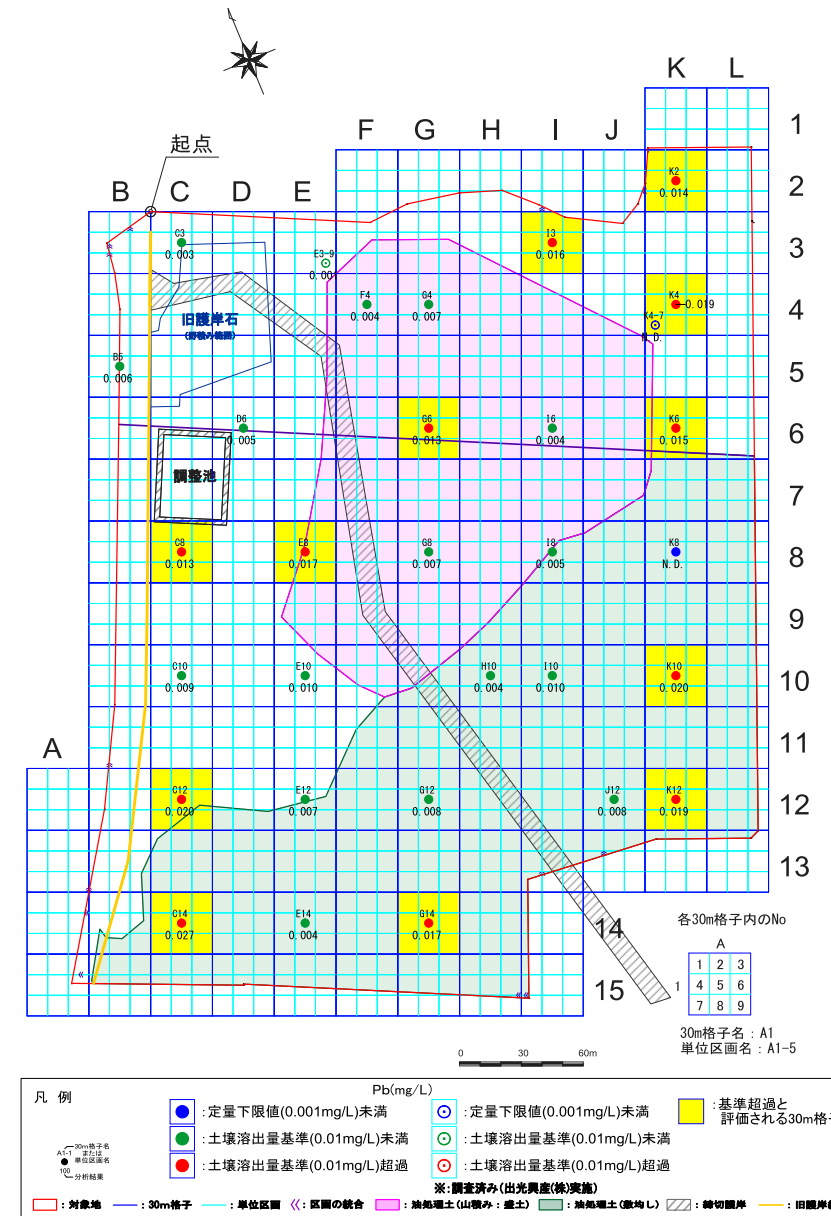


図7 (2) 埋土における鉛土壤溶出量の平面分布

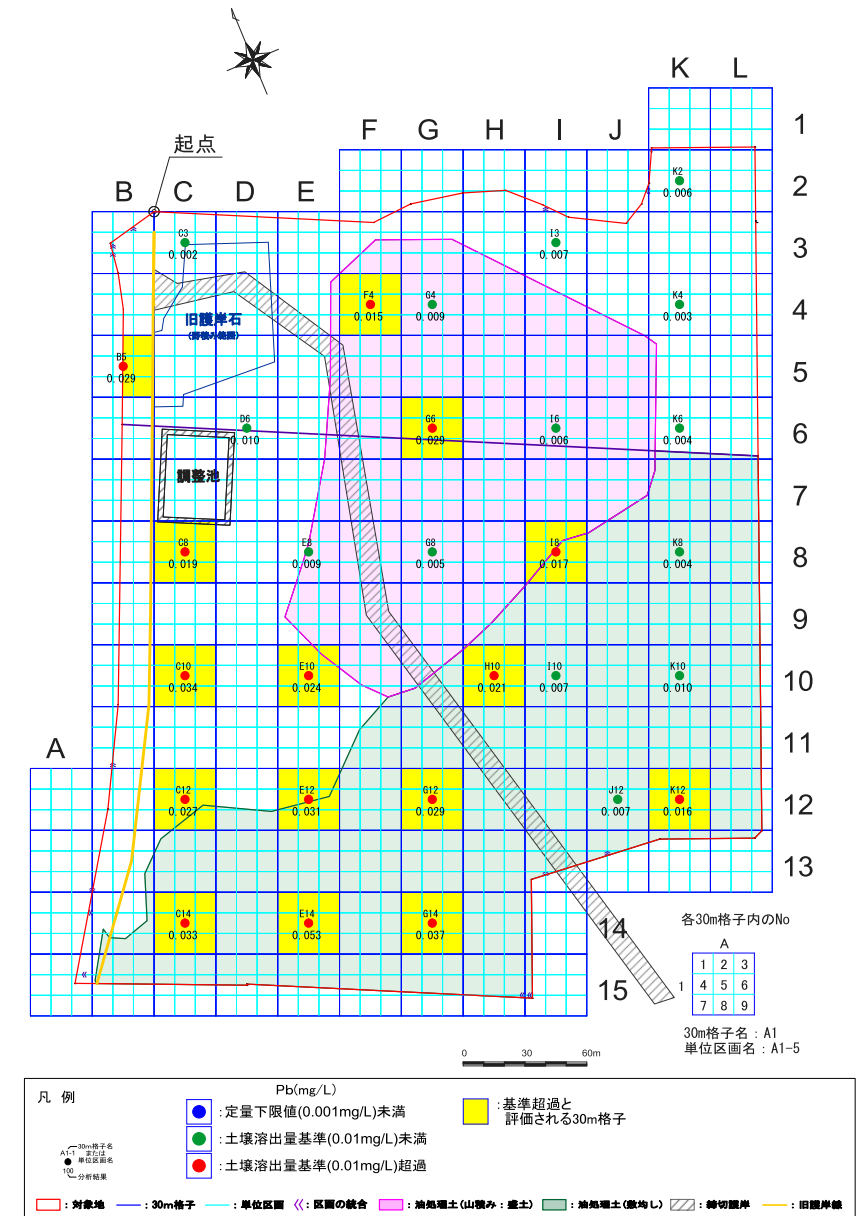


図7 (3) 自然地盤における鉛土壤溶出量の平面分布

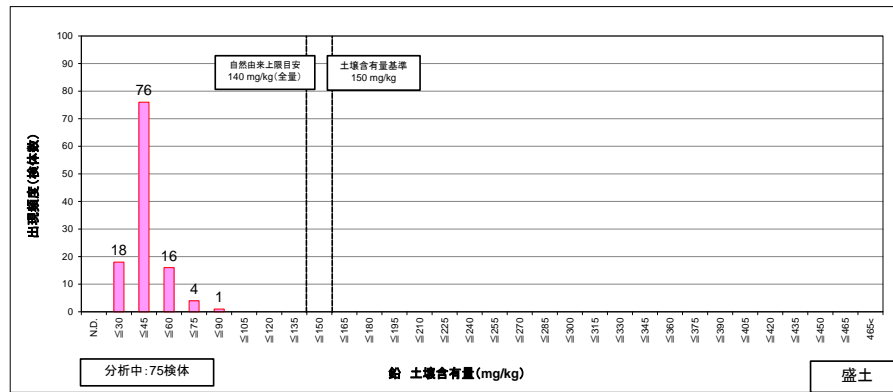


図8 (1) 盛土における鉛土壌含有量の検出頻度分布

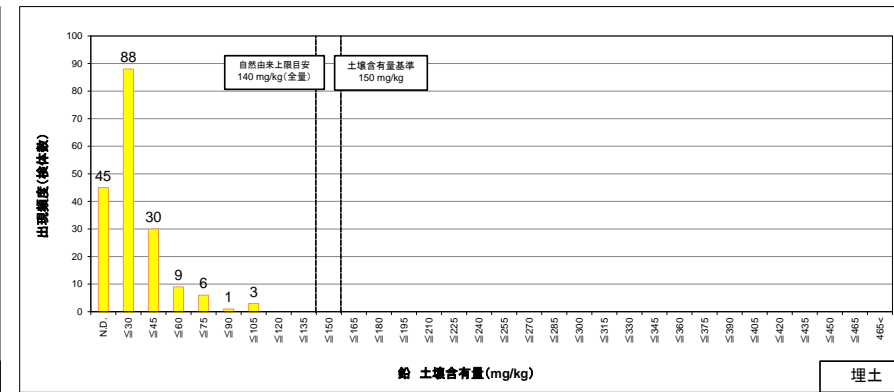


図8 (2) 埋土における鉛土壌含有量の検出頻度分布

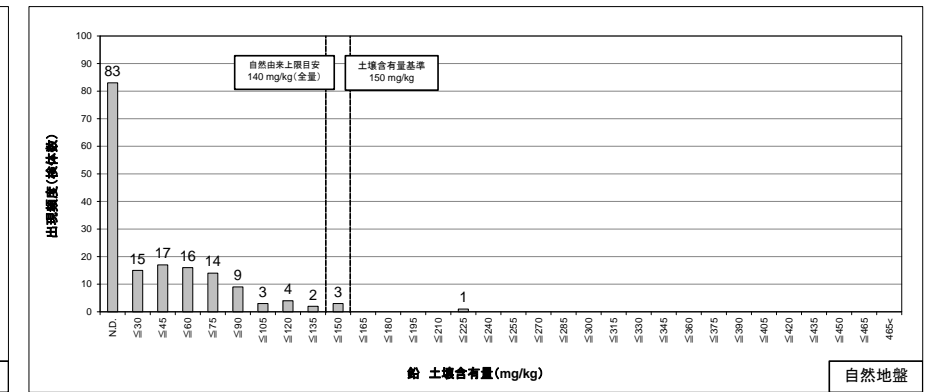


図8 (3) 自然地盤における鉛土壌含有量の検出頻度分布

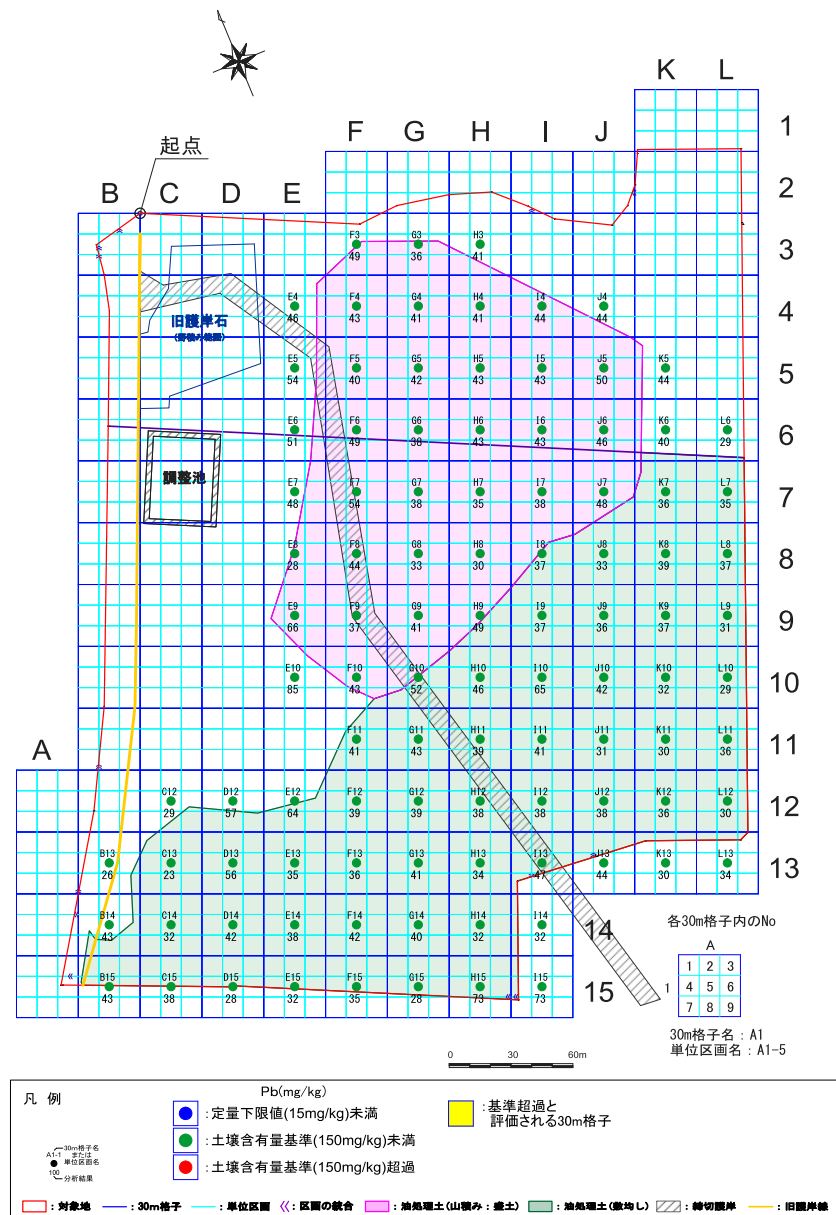


図9 (1) 盛土における鉛土壌含有量の平面分布

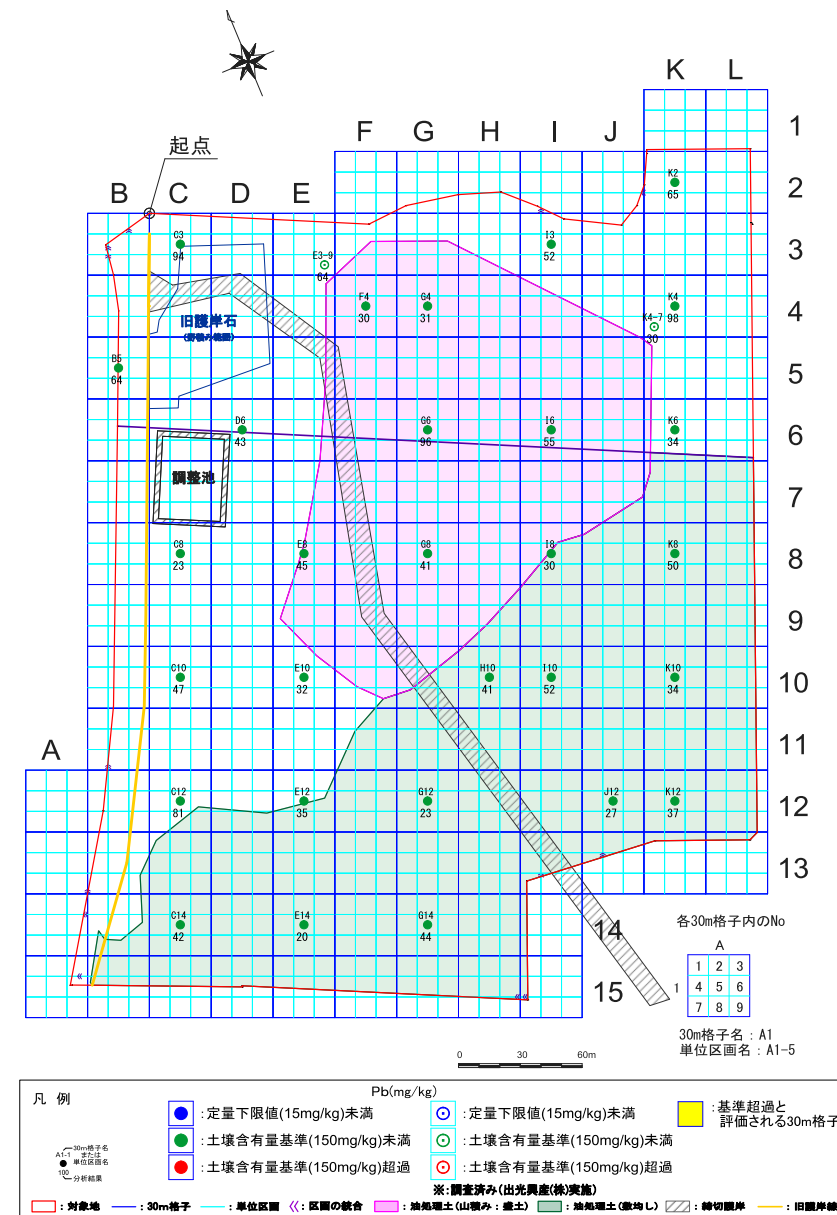


図9 (2) 埋土における鉛土壌含有量の平面分布

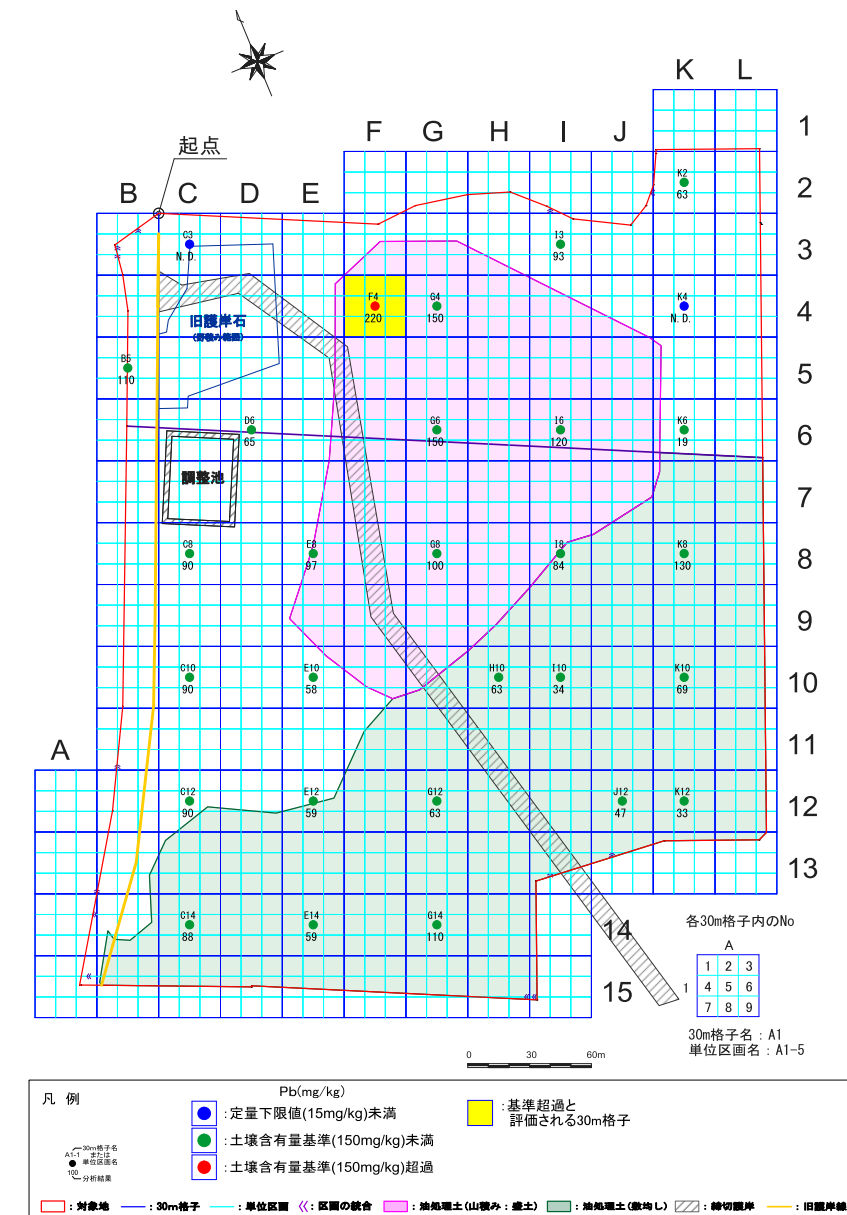


図9 (3) 自然地盤における鉛土壌含有量の平面分布

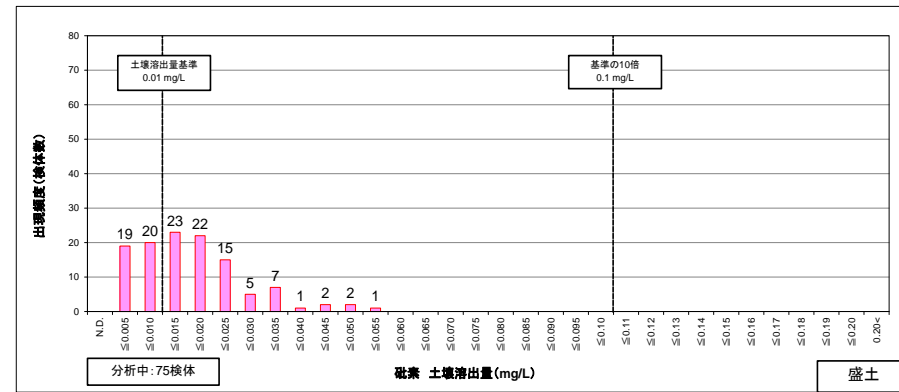


図10 (1) 盛土における砒素土壤溶出量の検出頻度分布

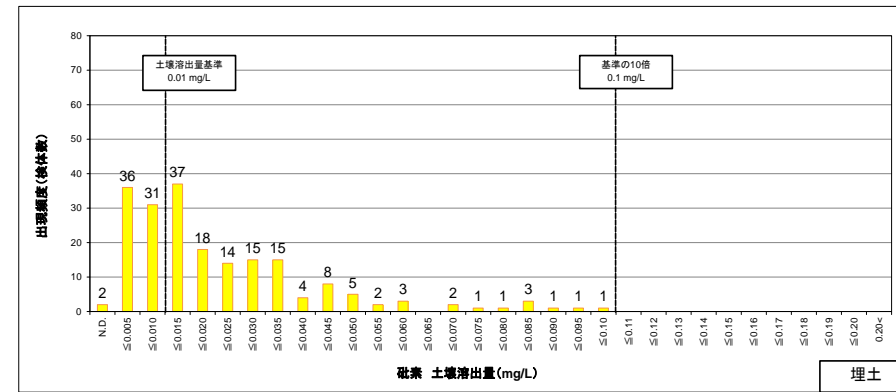


図10 (2) 埋土における砒素土壤溶出量の検出頻度分布

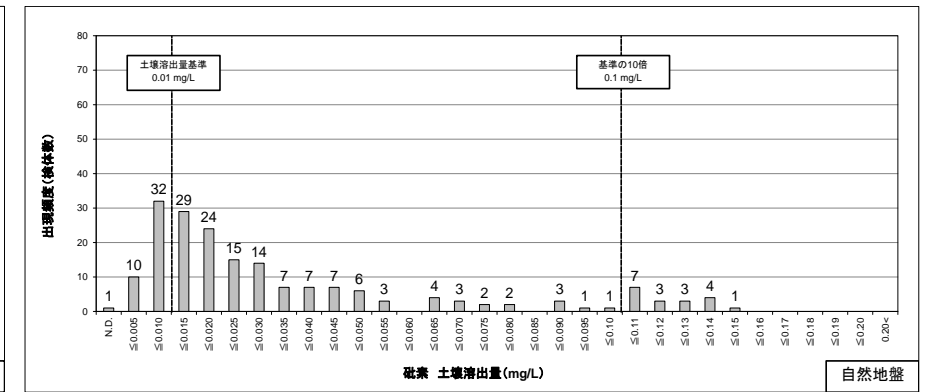


図10 (3) 自然地盤における砒素土壤溶出量の検出頻度分布

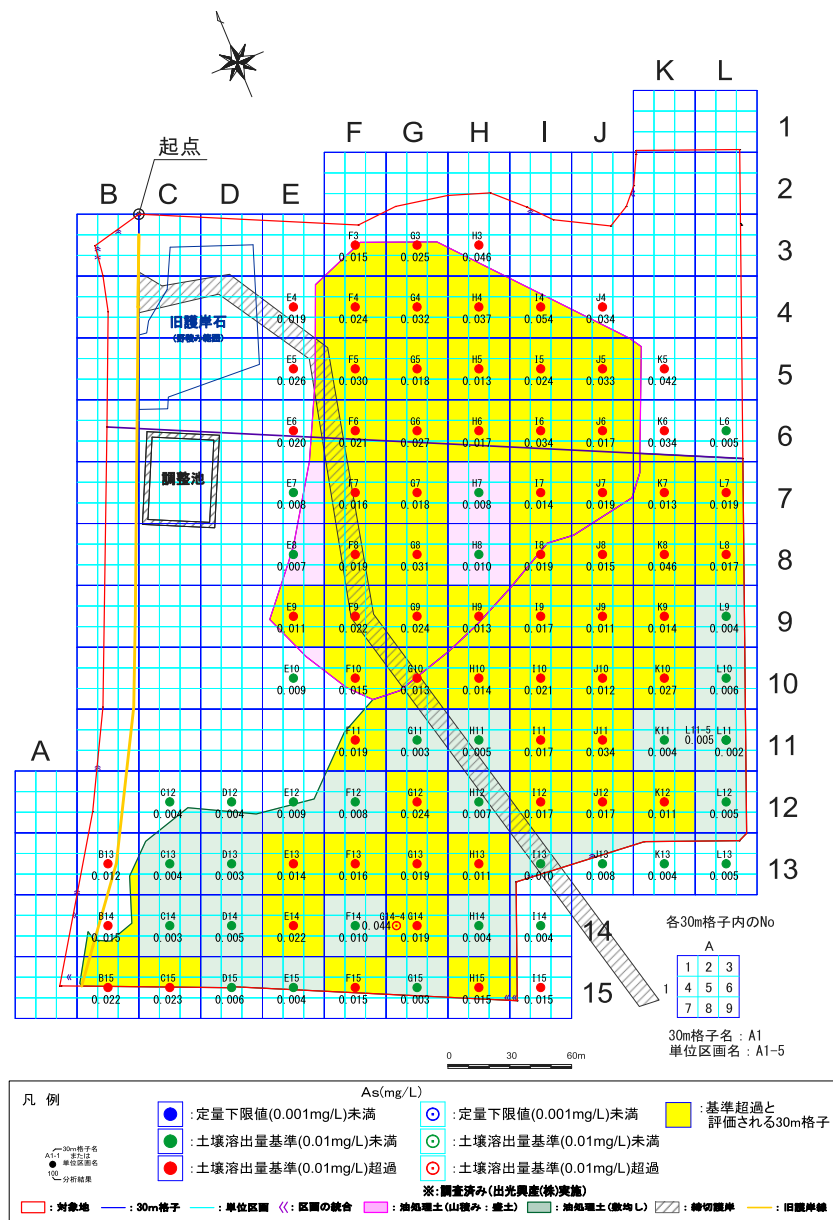


図11 (1) 盛土における砒素土壤溶出量の平面分布

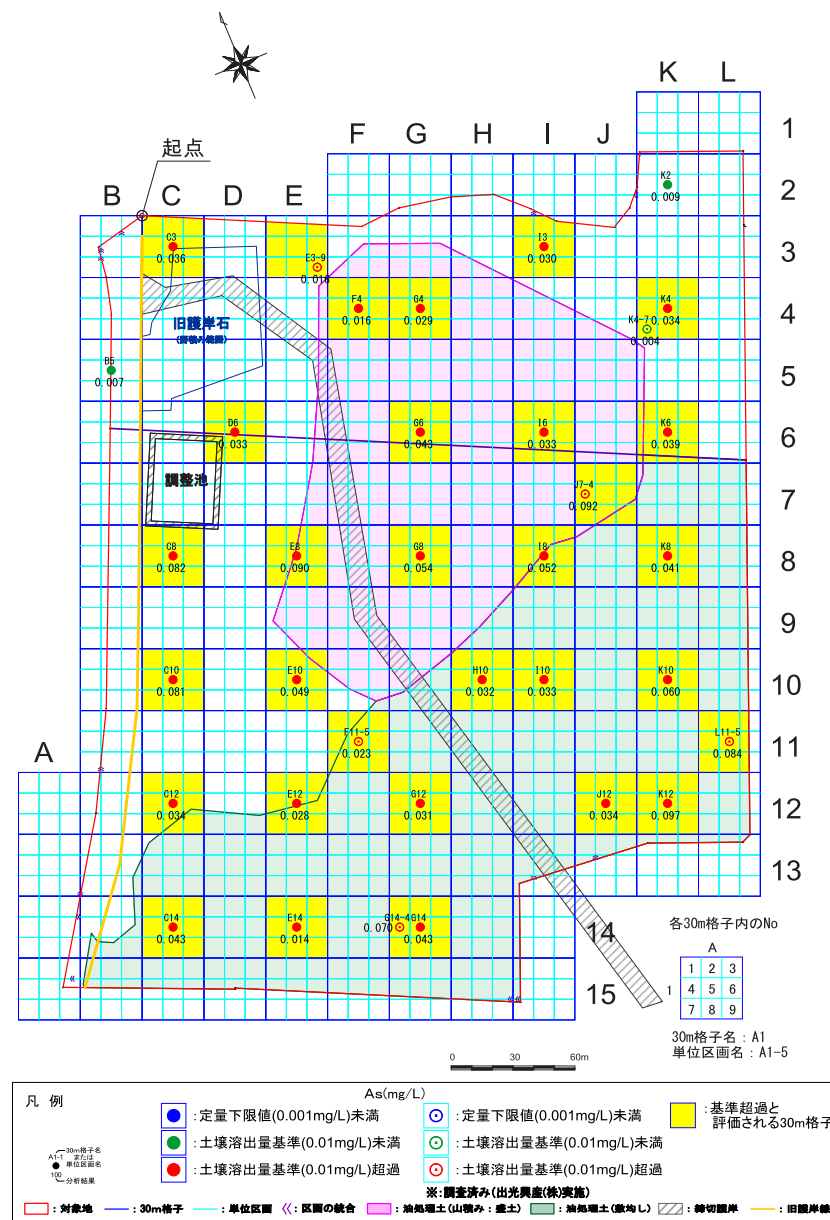


図11 (2) 埋土における砒素土壤溶出量の平面分布

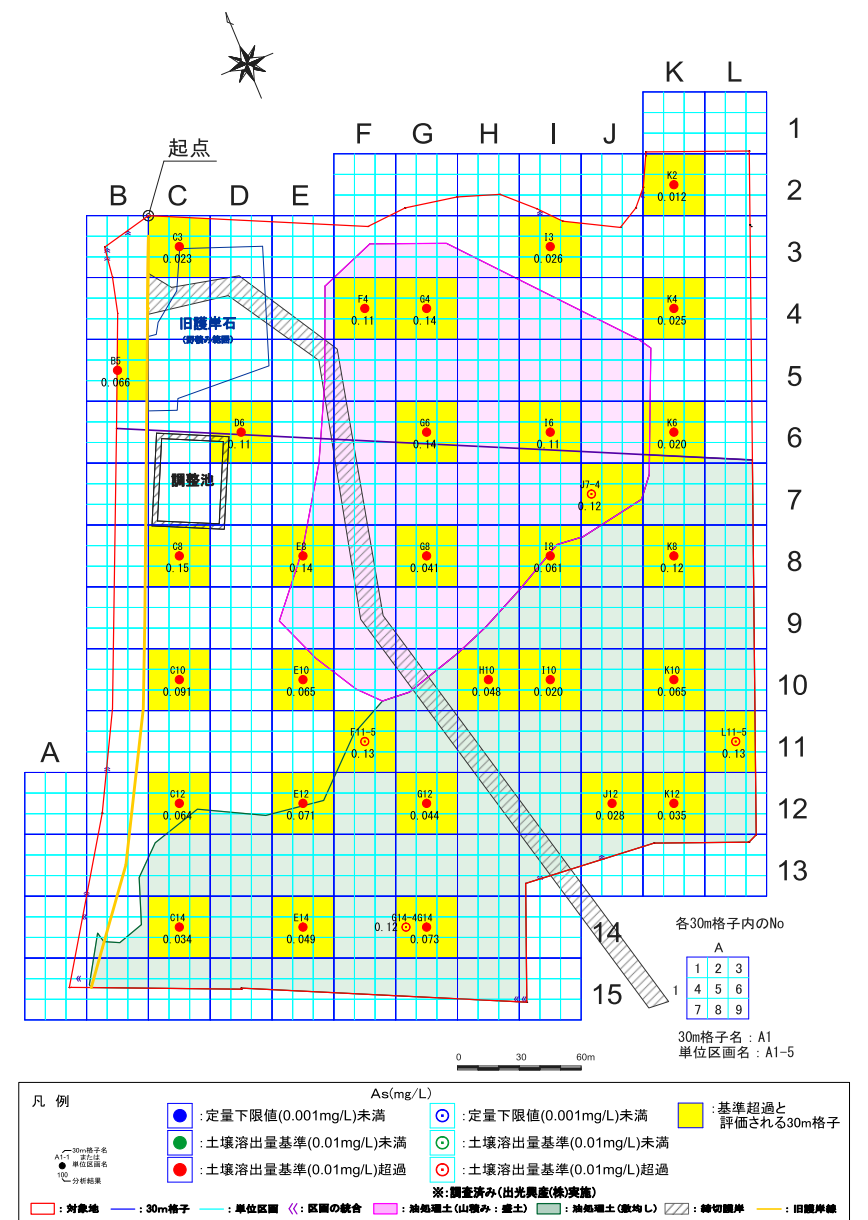


図11 (3) 自然地盤における砒素土壤溶出量の平面分布

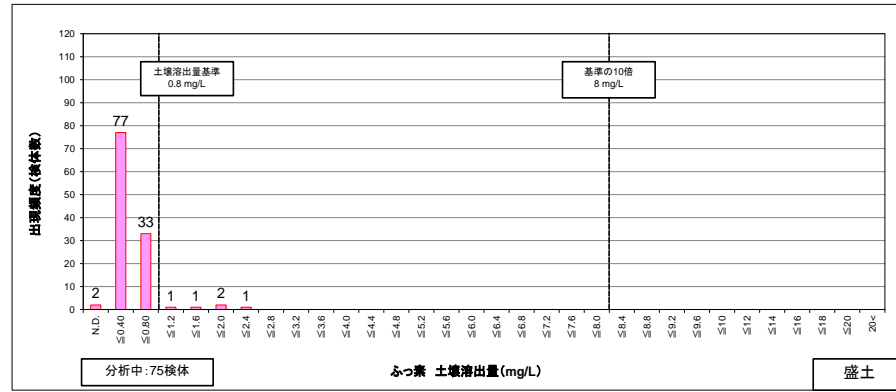


図12 (1) 盛土におけるふっ素土壤溶出量の検出頻度分布

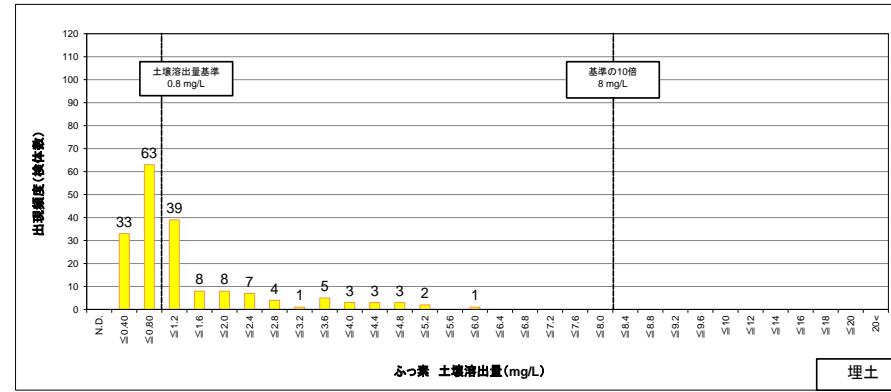


図12 (2) 埋土におけるふっ素土壤溶出量の検出頻度分布

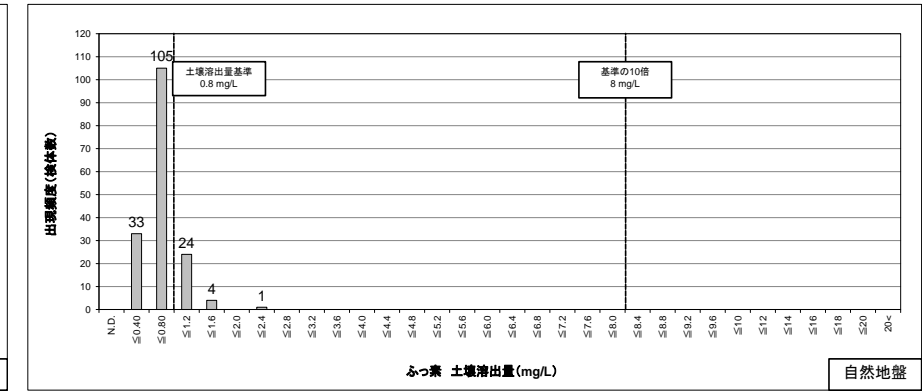


図12 (3) 自然地盤におけるふっ素土壤溶出量の検出頻度分布

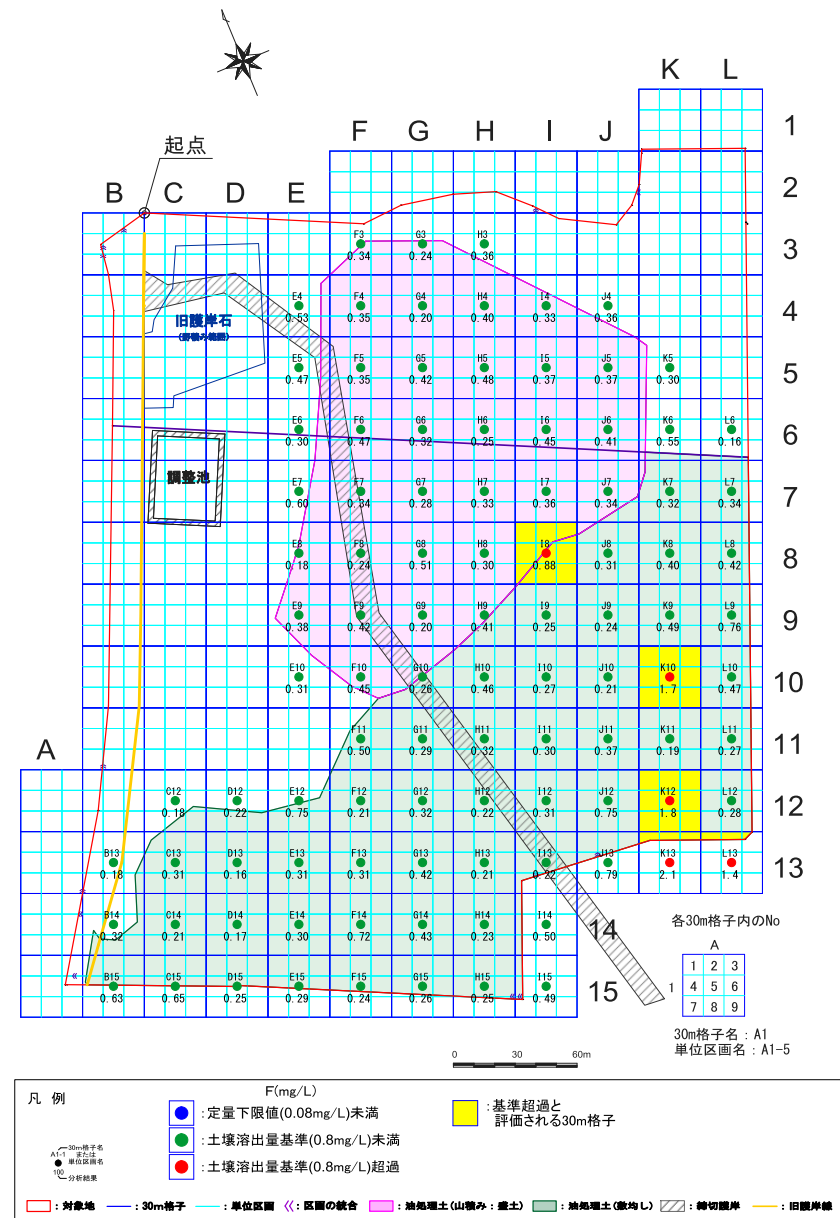


図13 (1) 盛土におけるふっ素土壤溶出量の平面分布

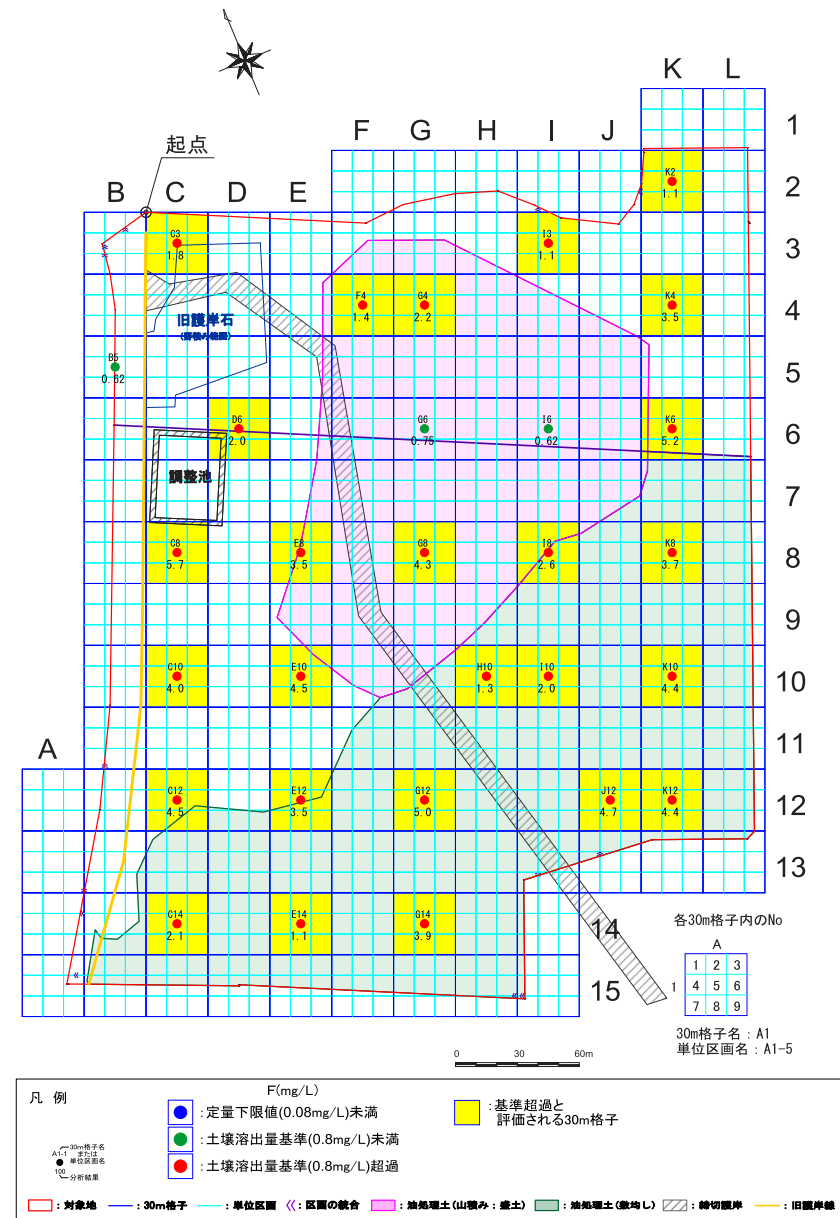


図13 (2) 埋土におけるふっ素土壤溶出量の平面分布

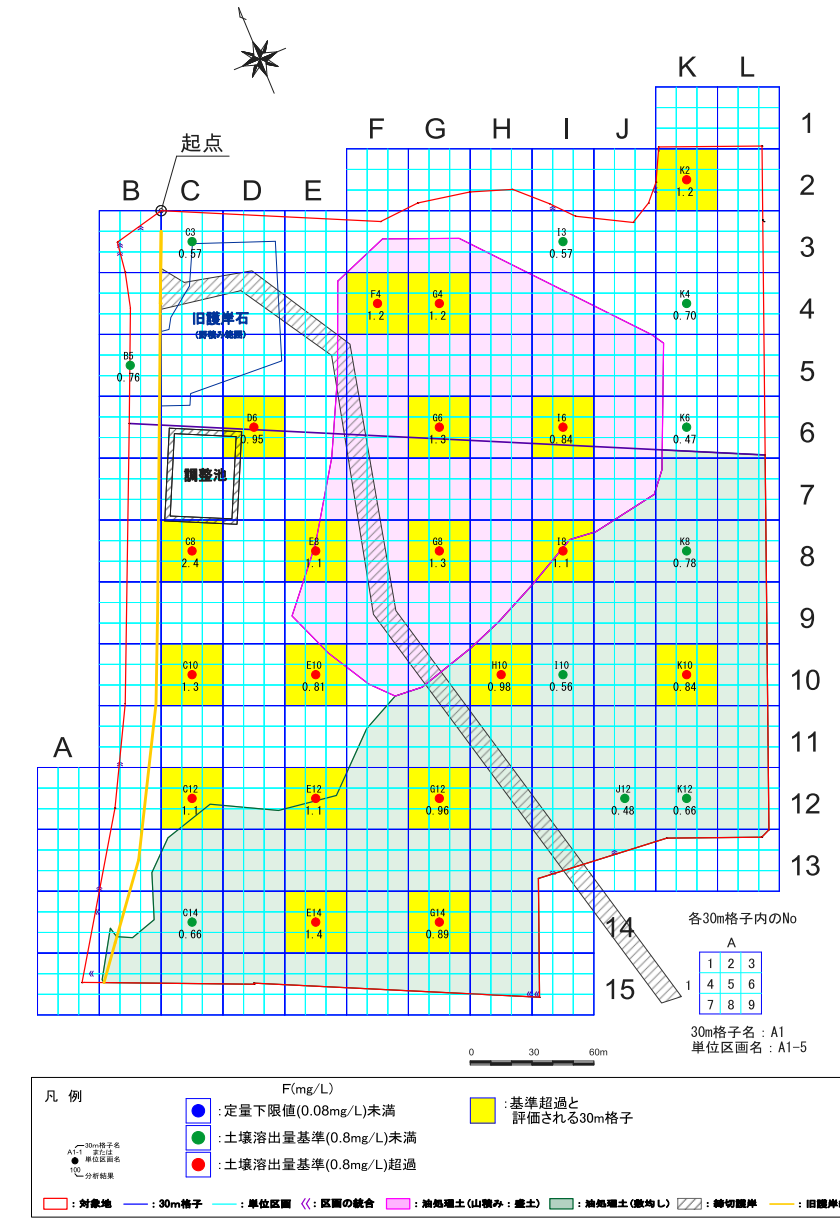


図13 (3) 自然地盤におけるふっ素土壤溶出量の平面分布

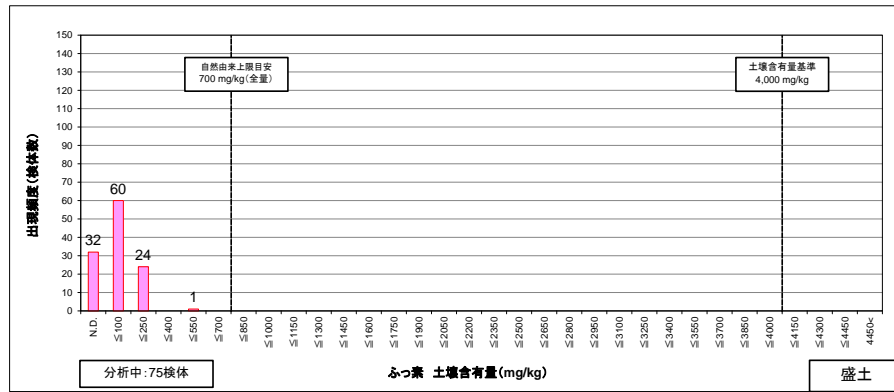


図14 (1) 盛土におけるふっ素土壌含有量の検出頻度分布

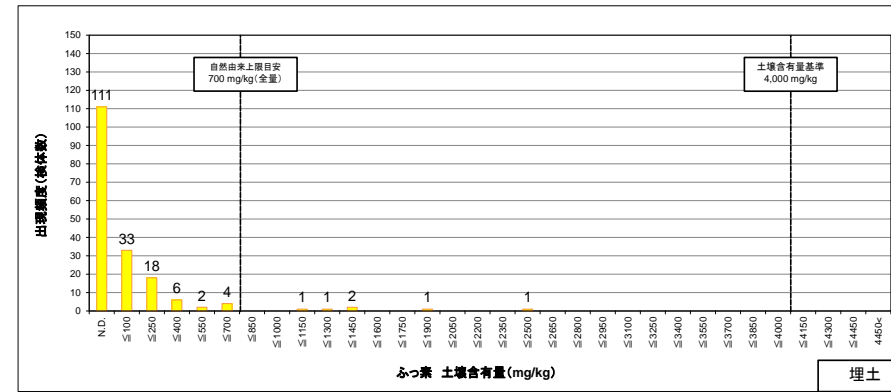


図14 (2) 埋土におけるふっ素土壌含有量の検出頻度分布

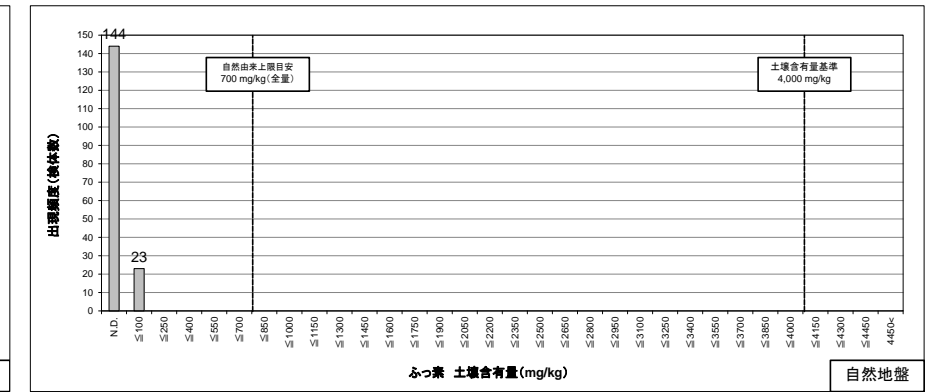


図14 (3) 自然地盤におけるふっ素土壌含有量の検出頻度分布

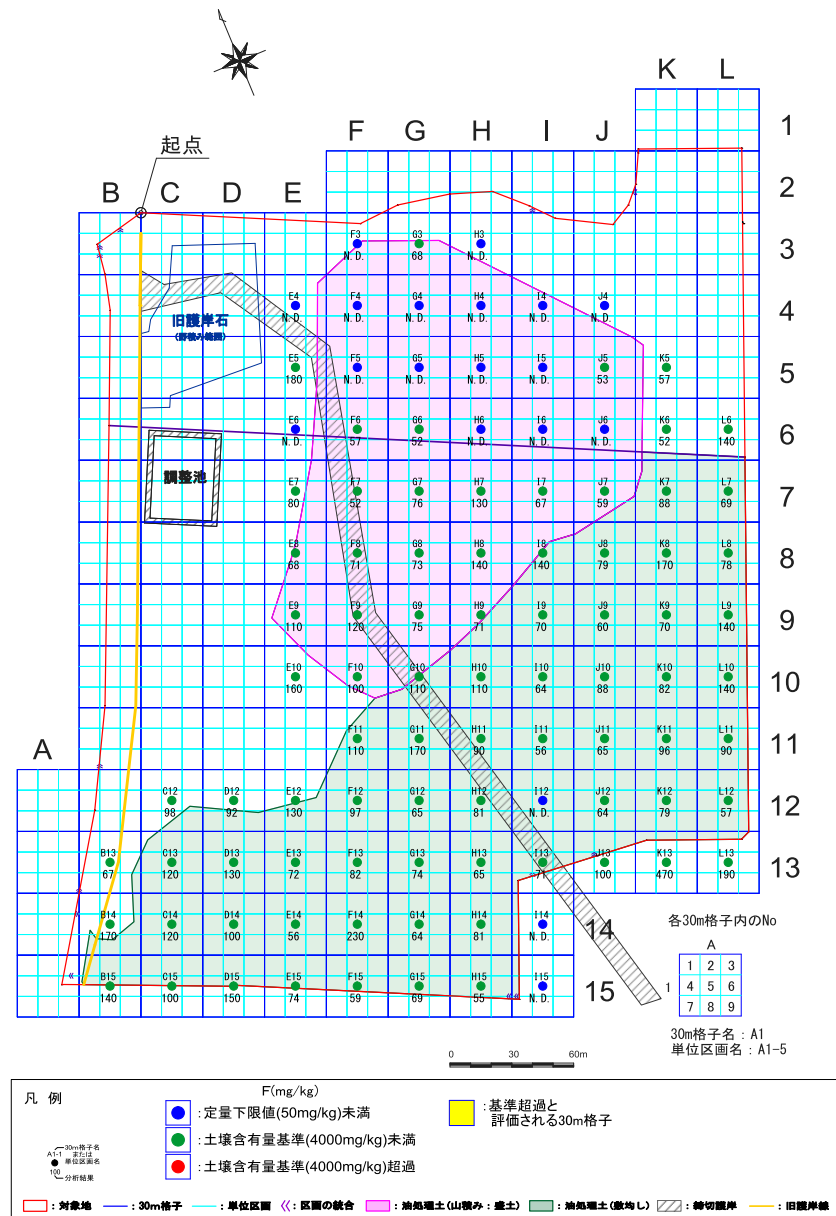


図15 (1) 盛土におけるふっ素土壌含有量の平面分布

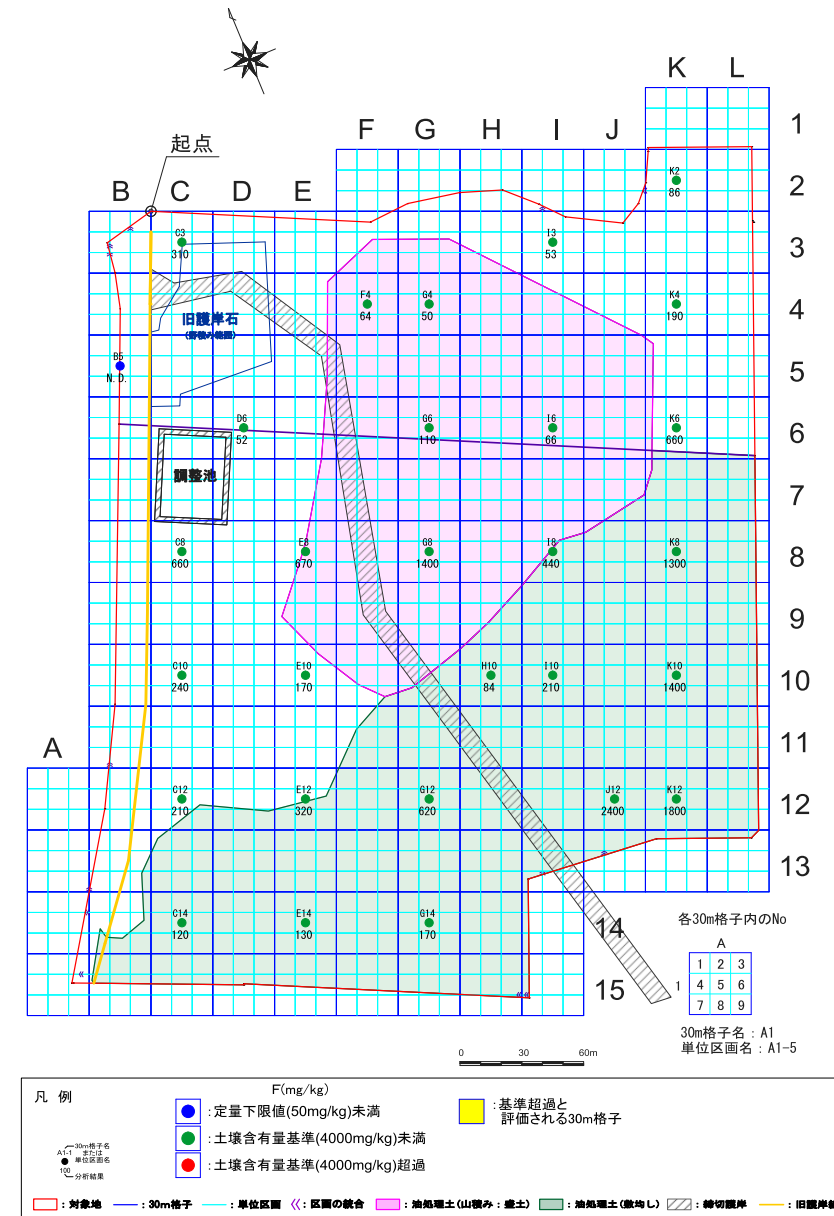


図15 (2) 埋土におけるふっ素土壌含有量の平面分布

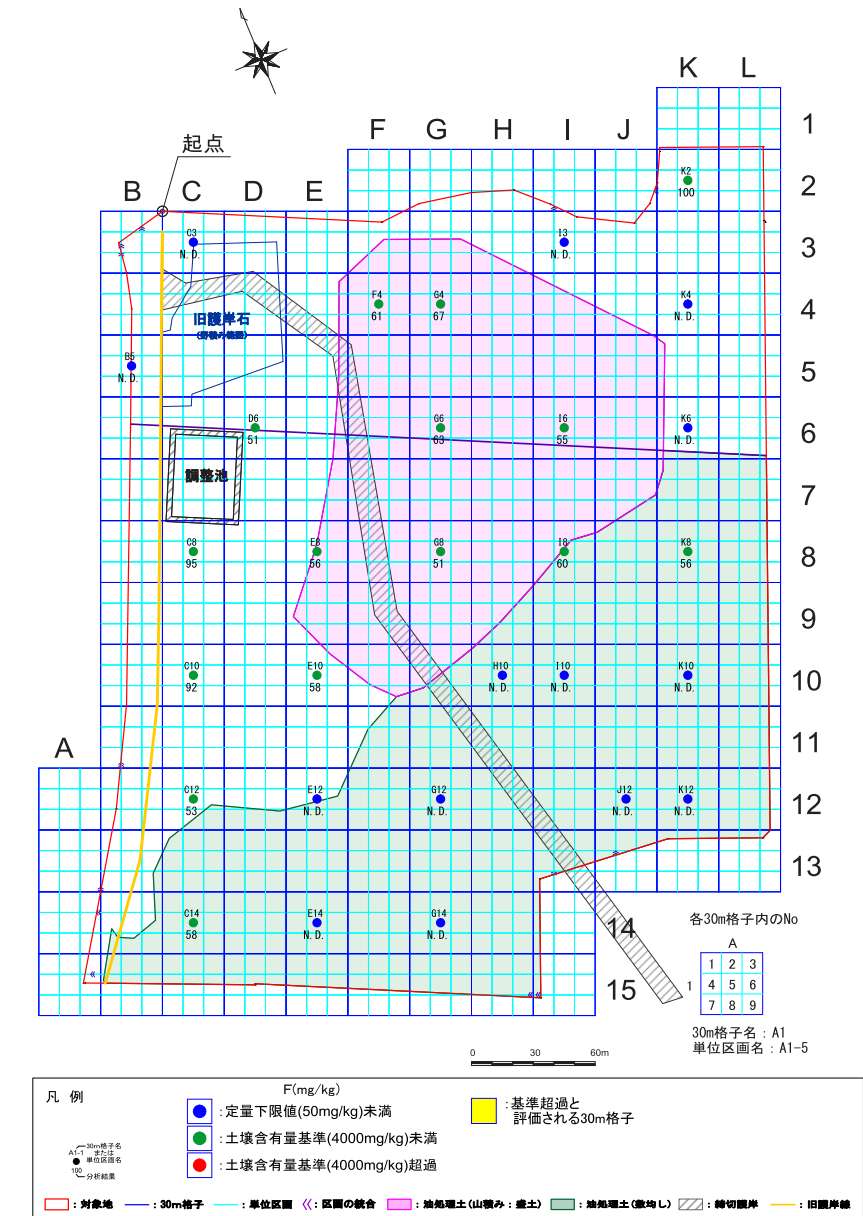


図15 (3) 自然地盤におけるふっ素土壌含有量の平面分布

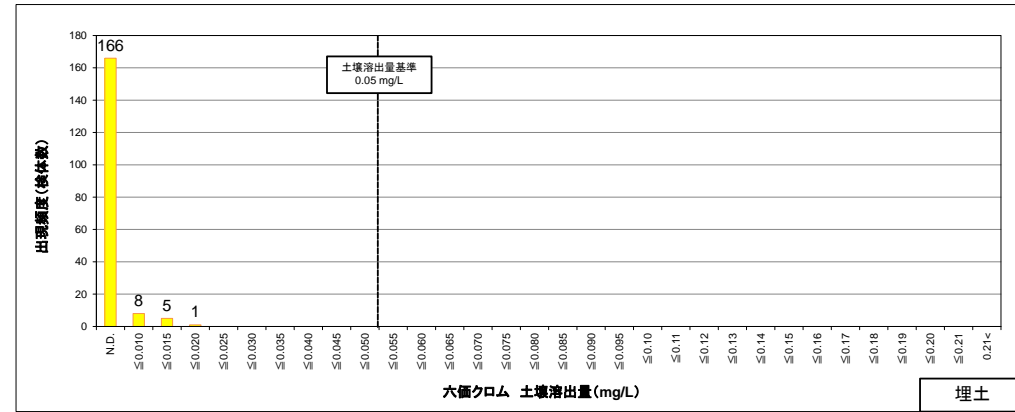


図16 (1) 埋土における六価クロム土壌溶出量の検出頻度分布

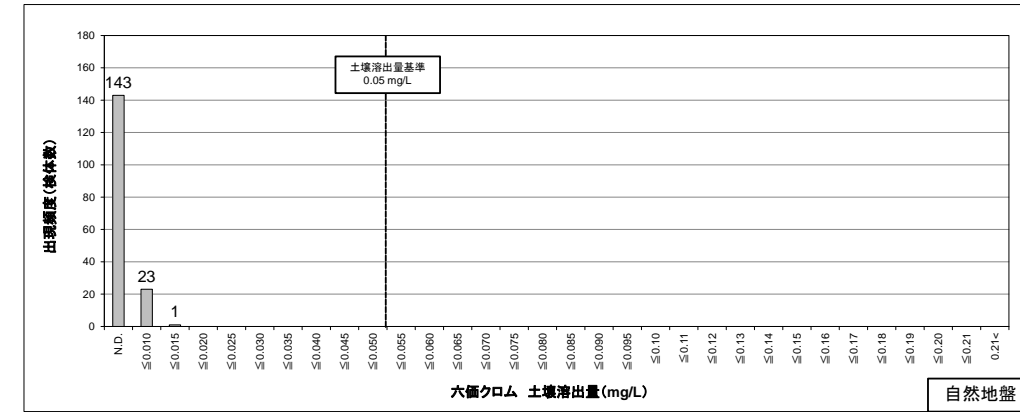


図16 (2) 自然地盤における六価クロム土壌溶出量の検出頻度分布

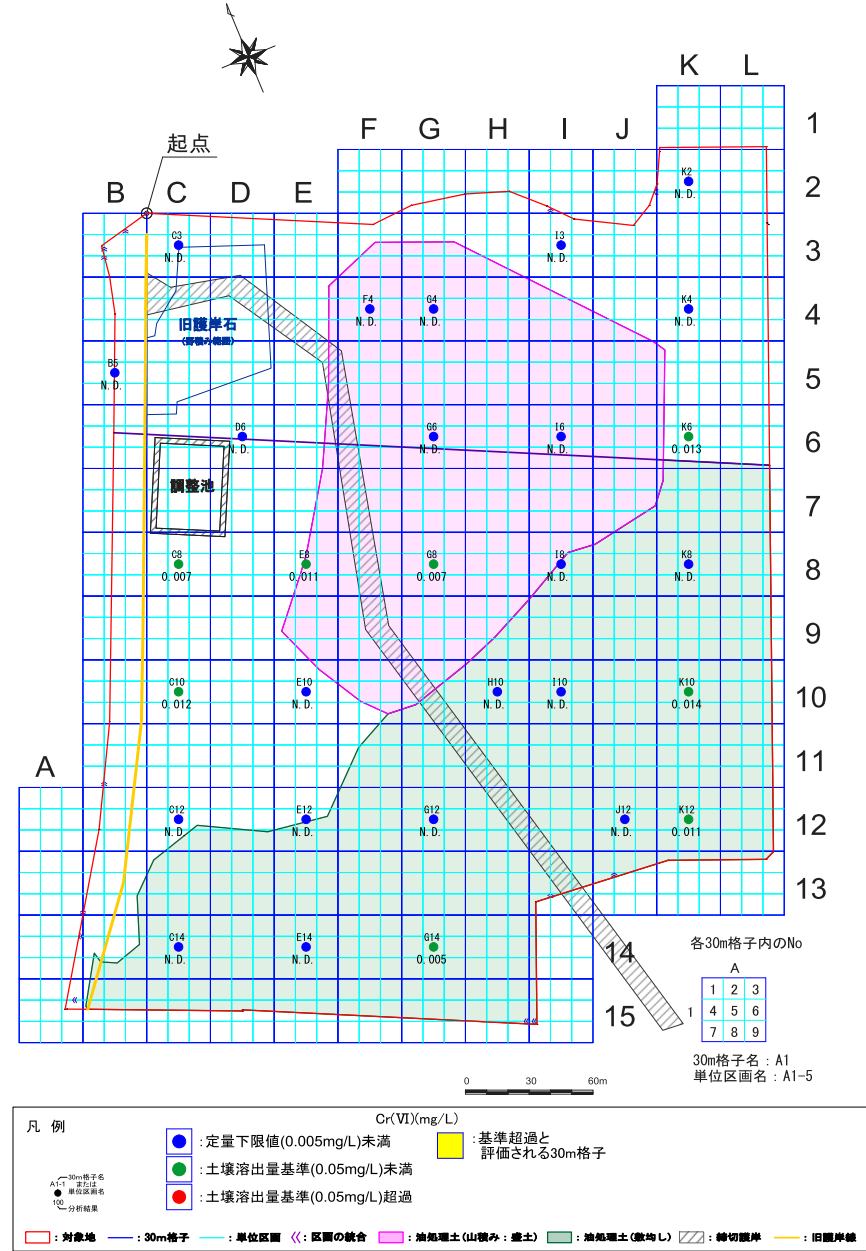


図17 (1) 埋土における六価クロム土壌溶出量値の平面分布

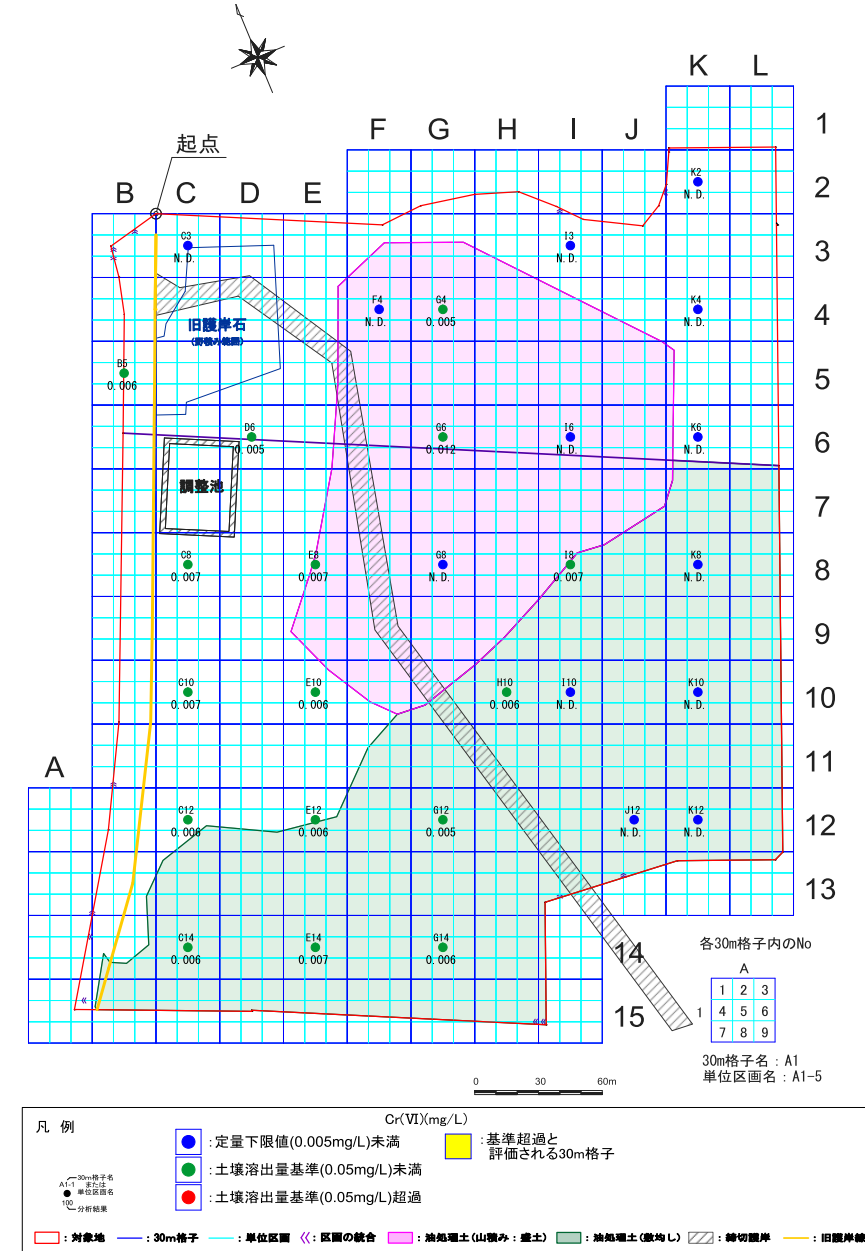


図17 (2) 自然地盤における六価クロム土壌溶出量値の平面分布

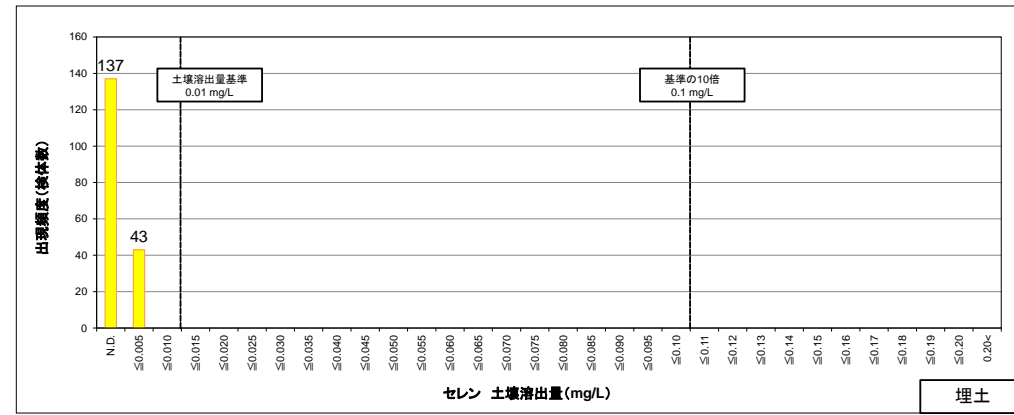


図18 (1) 埋土におけるセレン土壤溶出量の検出頻度分布

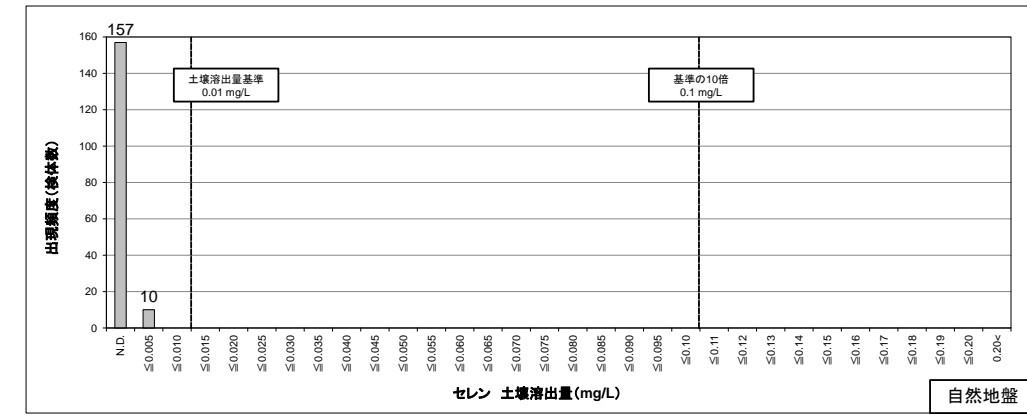


図18 (2) 自然地盤におけるセレン土壤溶出量の検出頻度分布

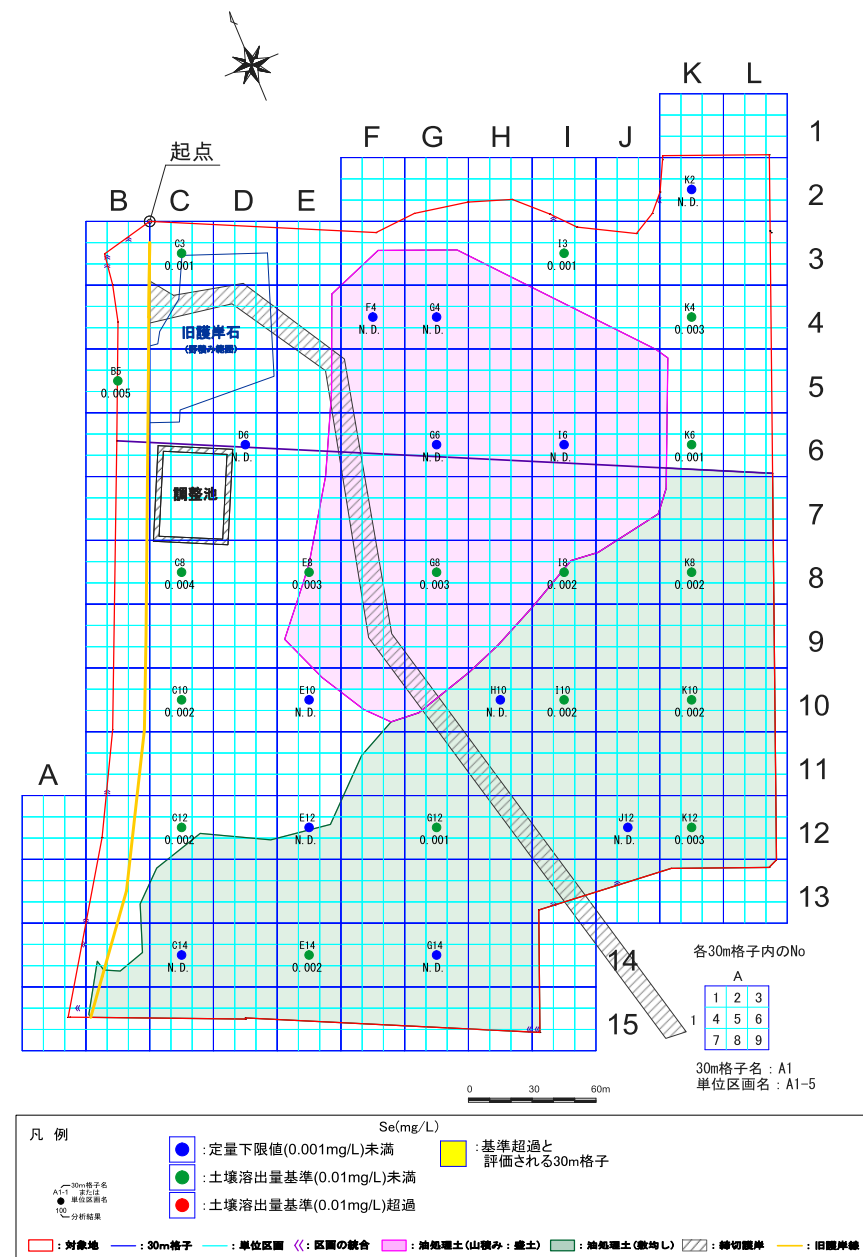


図19 (1) 埋土におけるセレン土壤溶出量値の平面分布

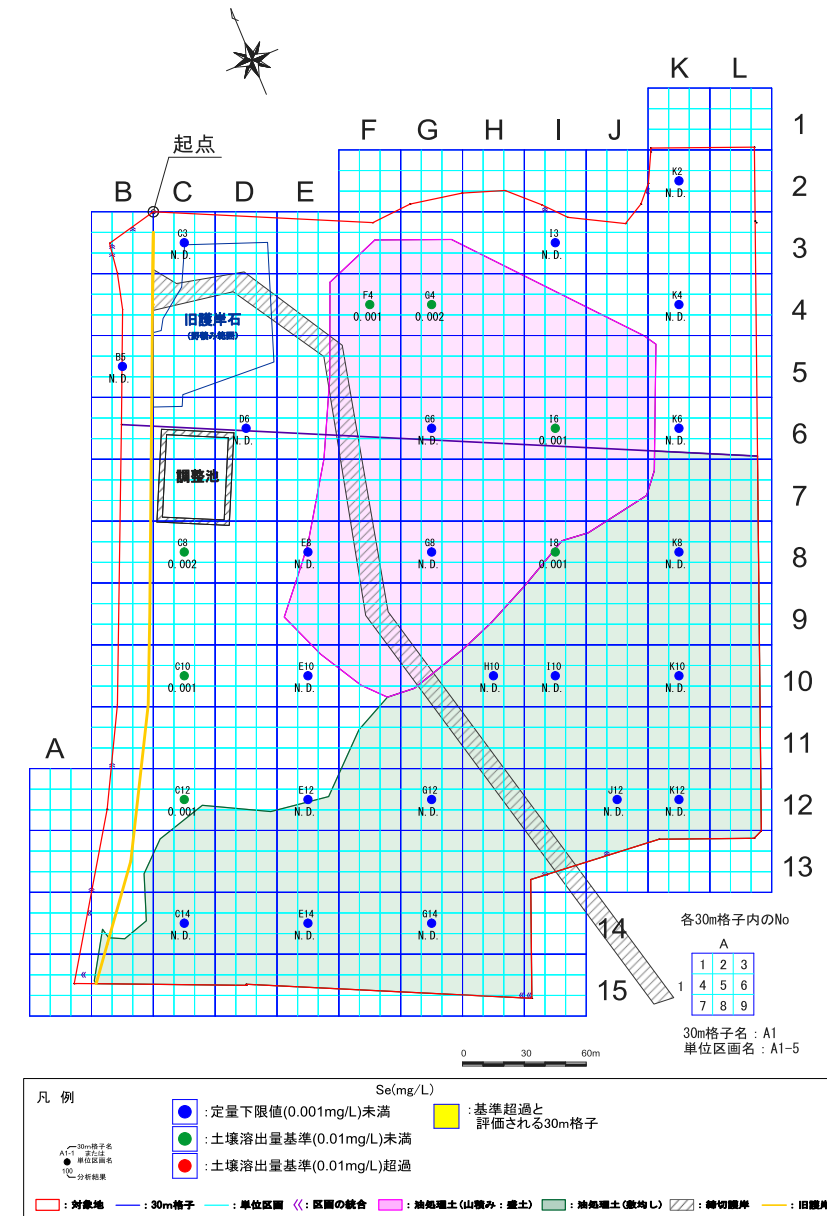


図19 (2) 自然地盤におけるセレン土壤溶出量値の平面分布

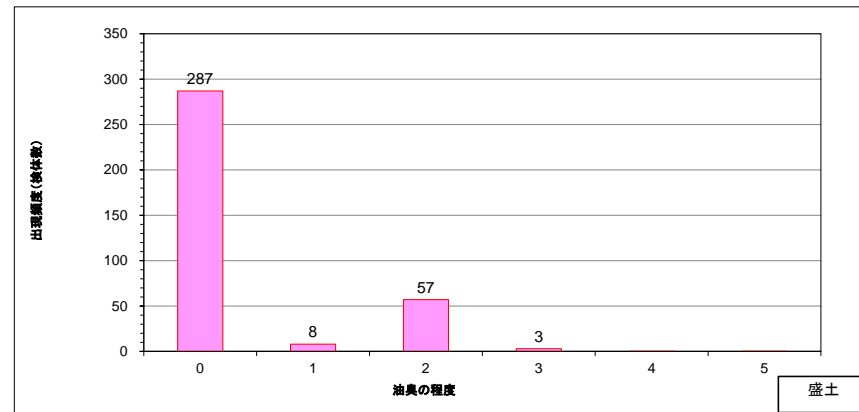


図20 (1) 盛土における油臭の程度の検出頻度分布

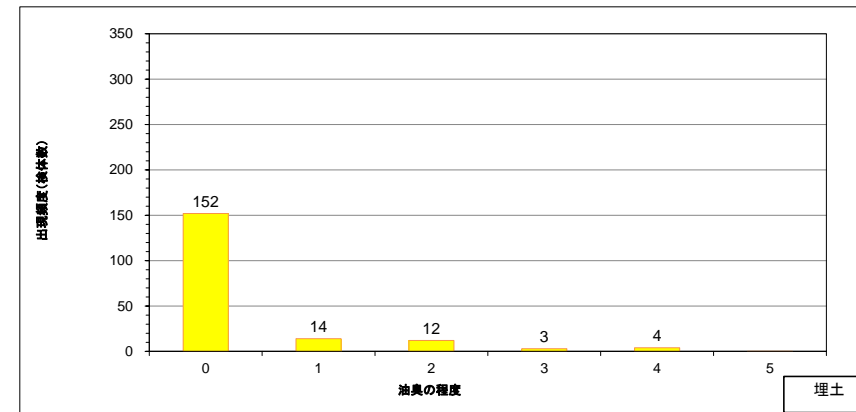


図20 (2) 埋土における油臭の程度の検出頻度分布

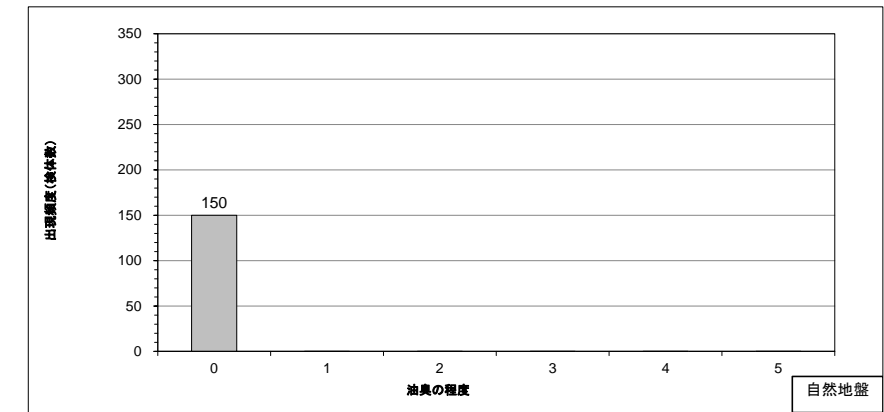


図20 (3) 自然地盤における油臭の程度の検出頻度分布

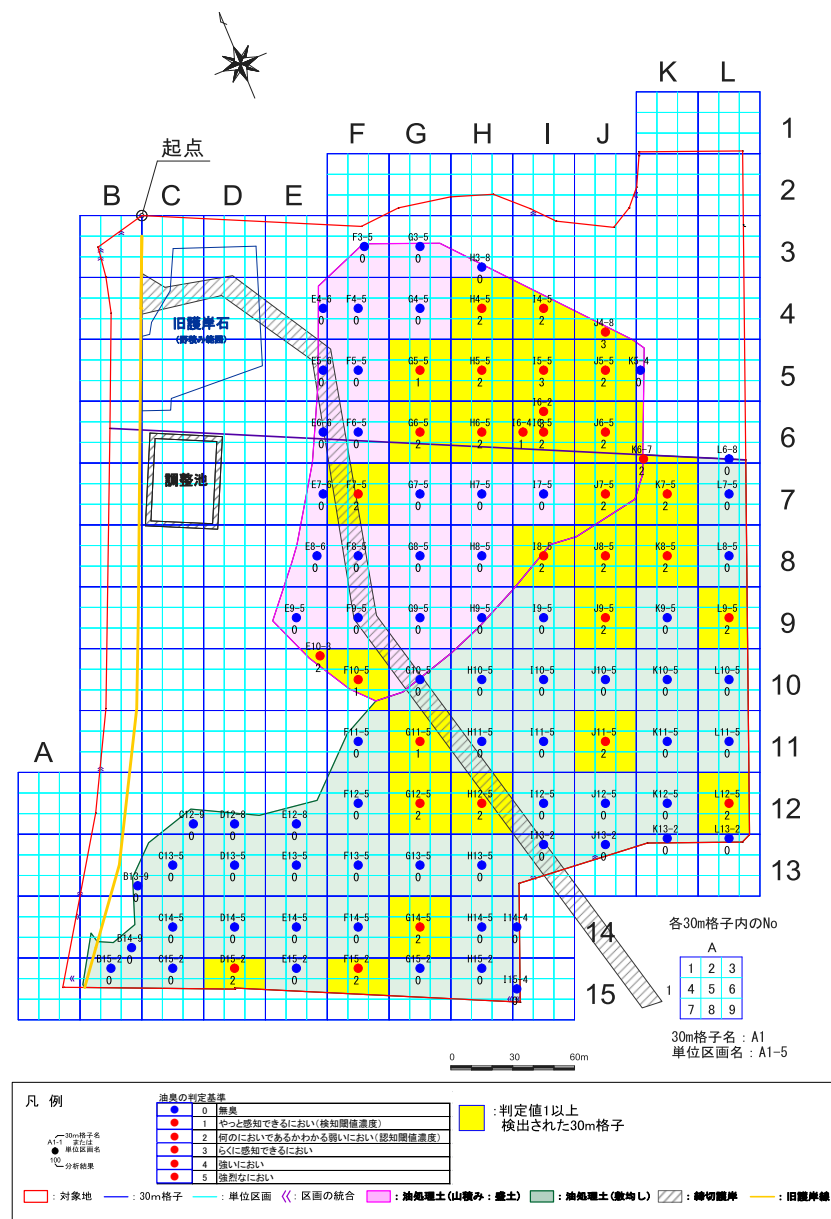


図21 (1) 盛土における油臭の程度の平面分布

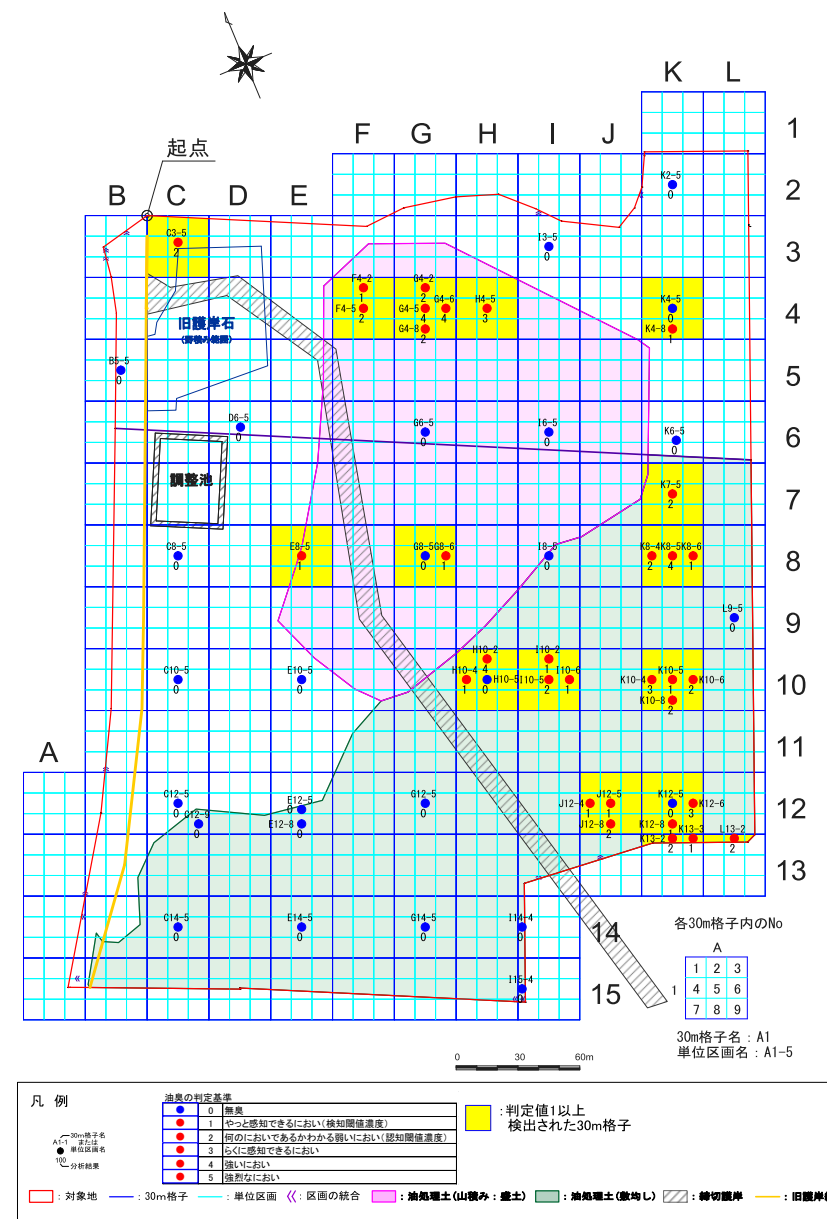


図21 (2) 埋土における油臭の程度の平面分布

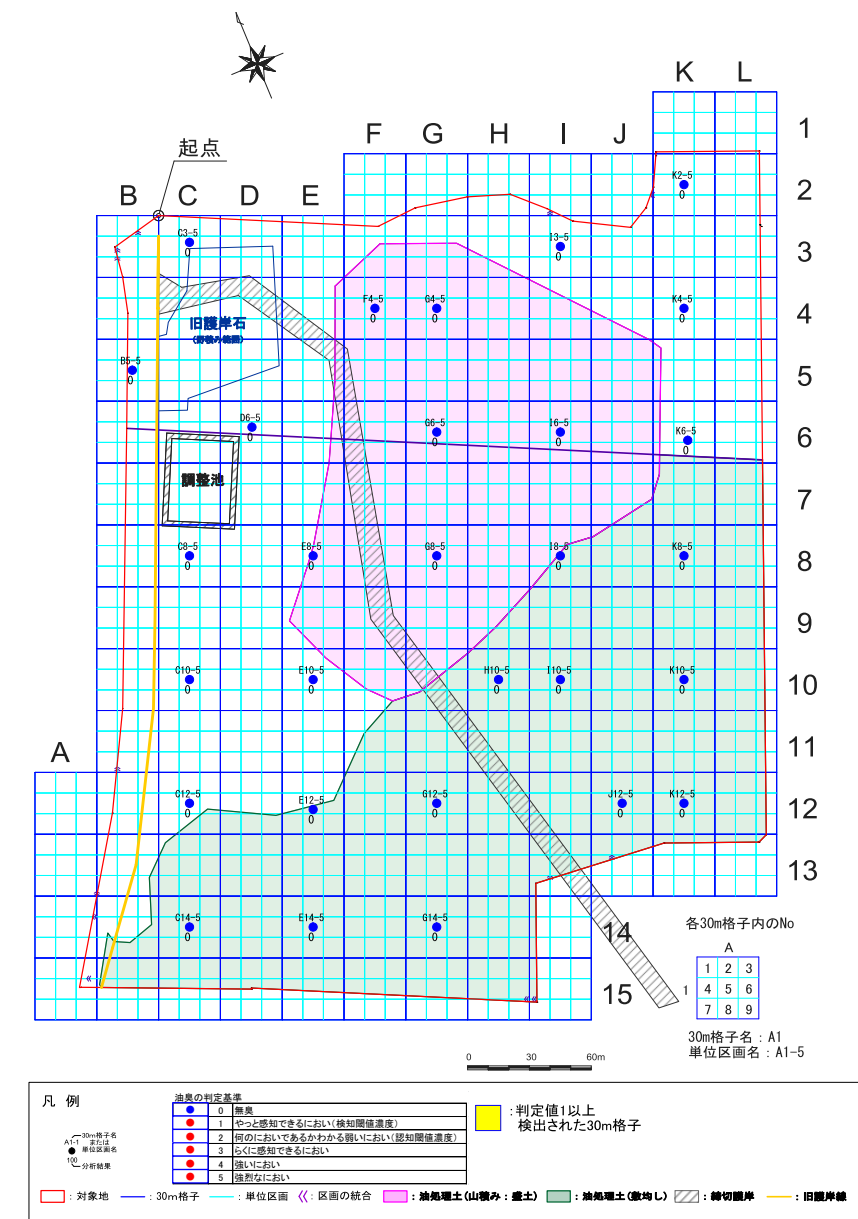


図21 (3) 自然地盤における油臭の程度の平面分布

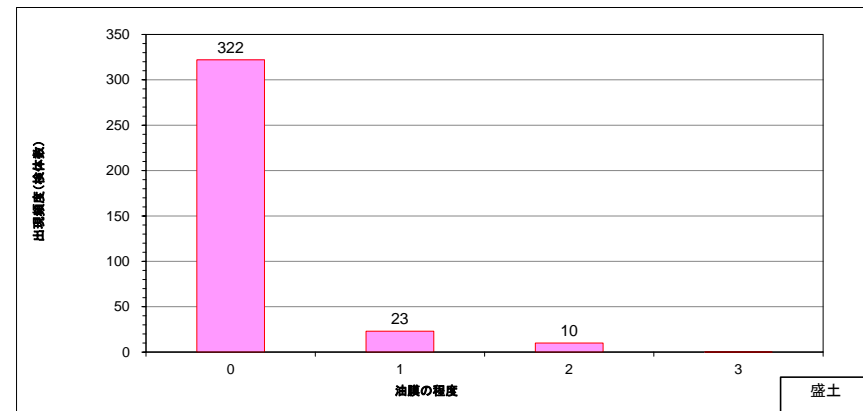


図22 (1) 盛土における油膜の程度の検出頻度分布

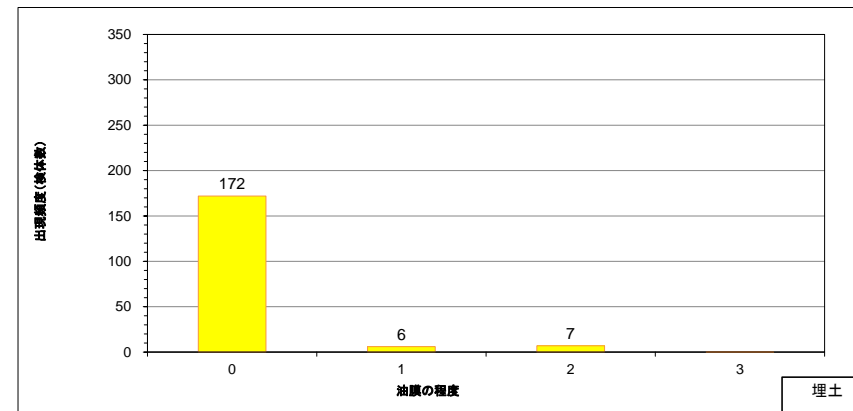


図22 (2) 埋土における油膜の程度の検出頻度分布

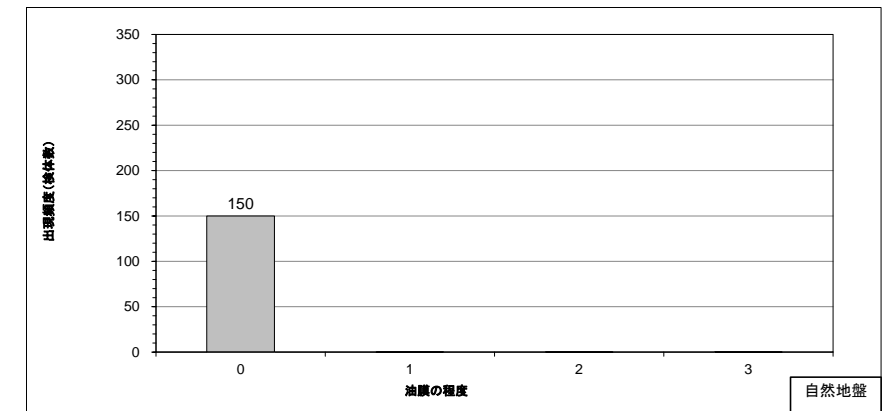


図22 (3) 自然地盤における油膜の程度の検出頻度分布

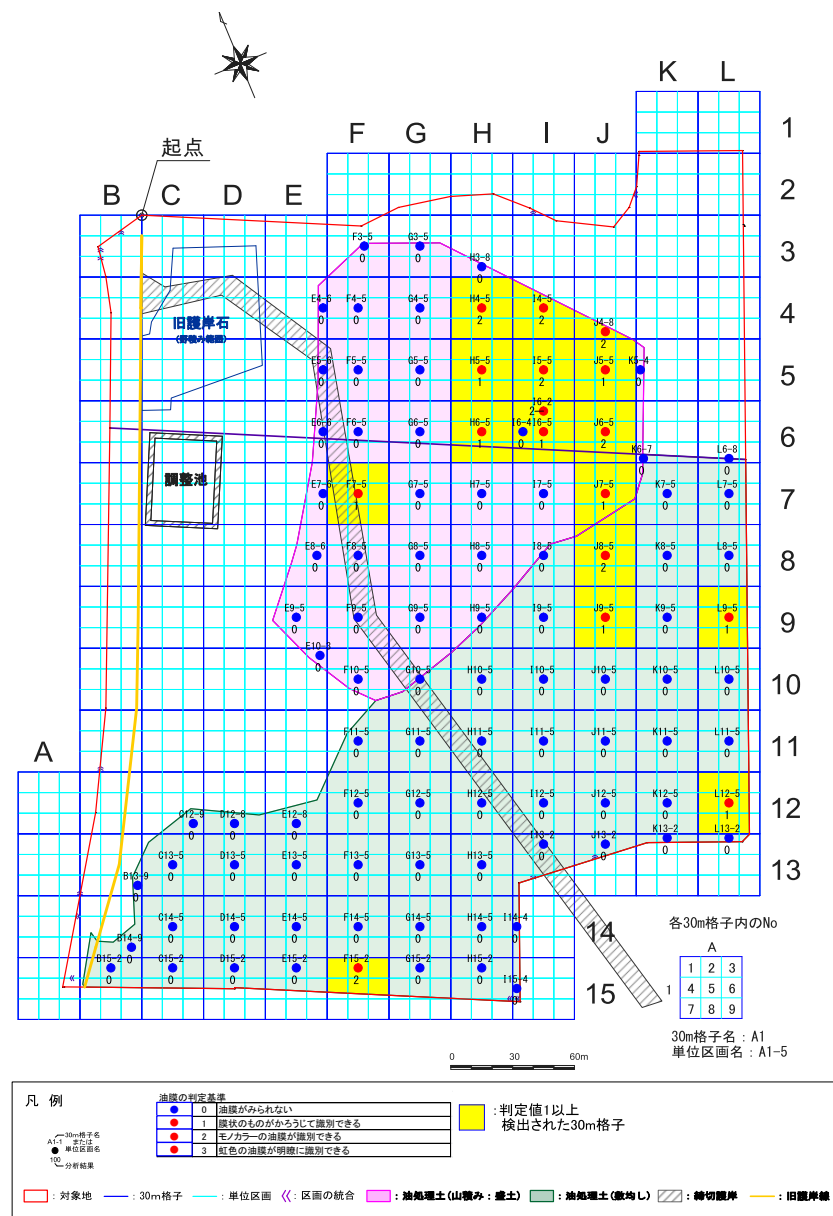


図23 (1) 盛土における油膜の程度の平面分布

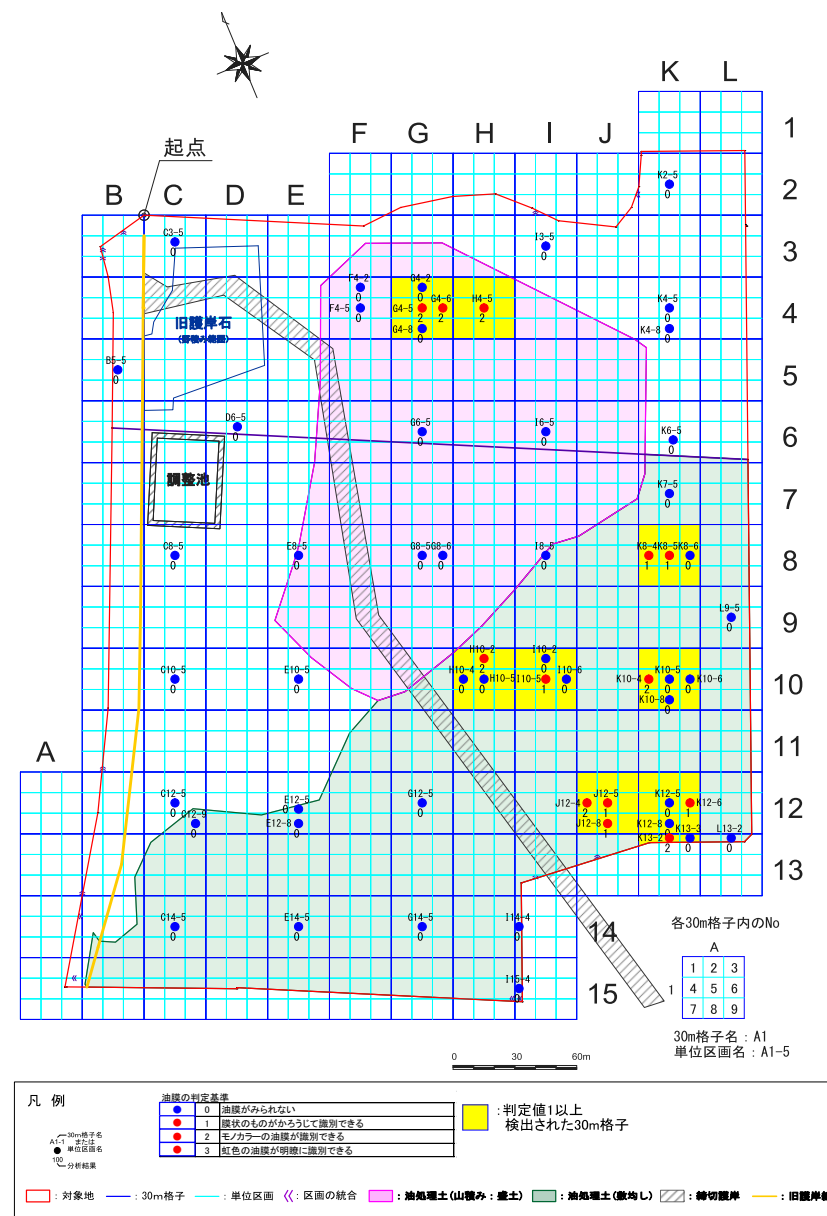


図23 (2) 埋土における油膜の程度の平面分布

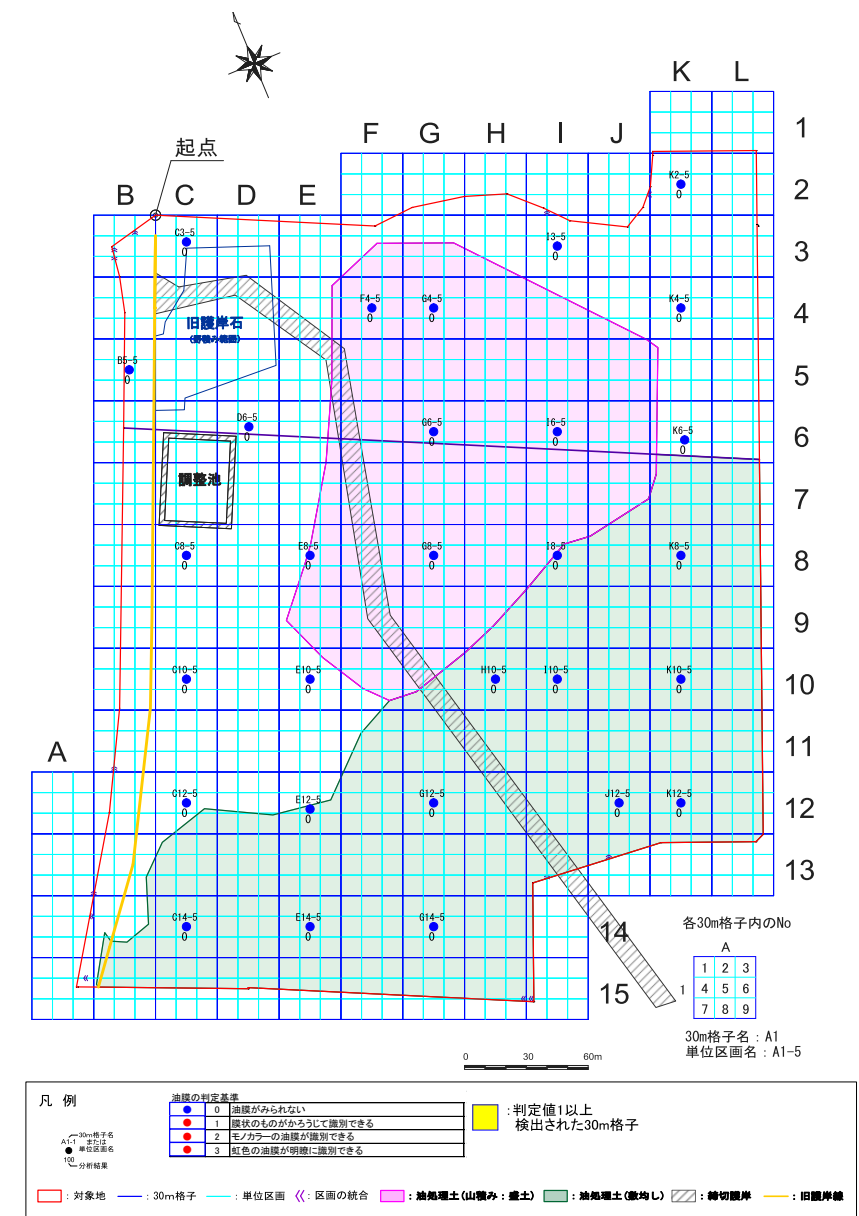


図23 (3) 自然地盤における油膜の程度の平面分布

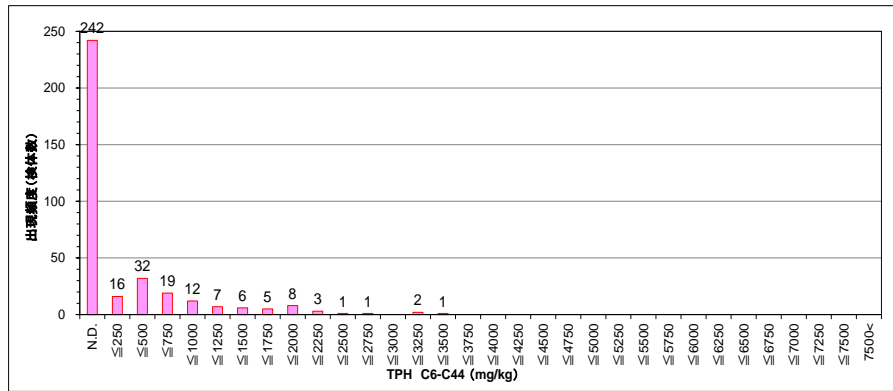


図24 (1) 盛土におけるTPH (C6-C44) の検出頻度分布

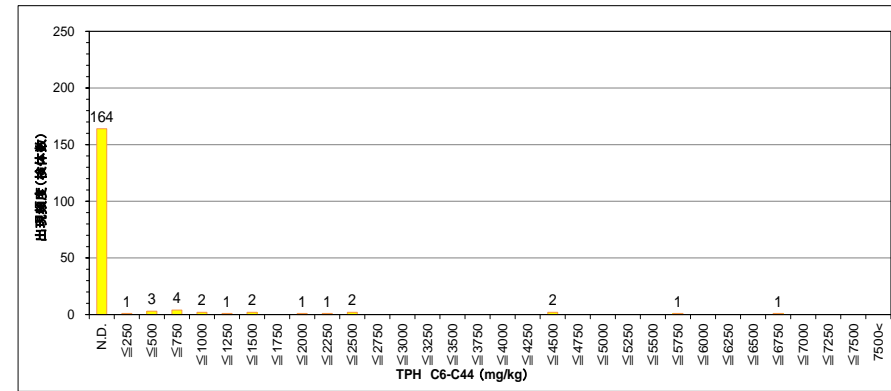


図24 (2) 埋土におけるTPH (C6-C44) の検出頻度分布

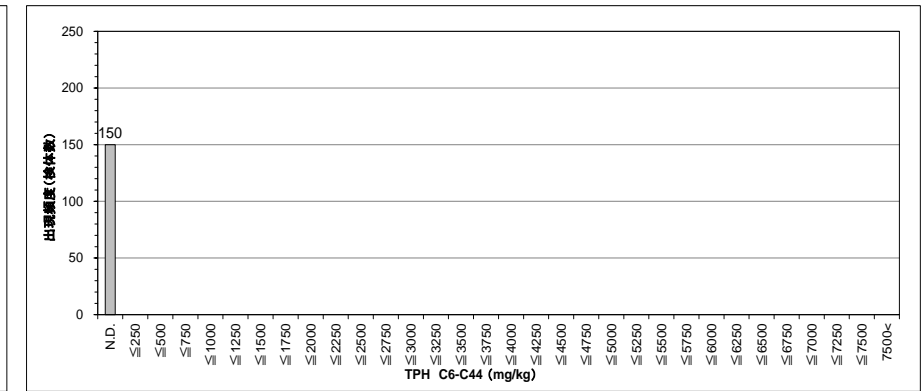


図24 (3) 自然地盤におけるTPH (C6-C44) の検出頻度分布

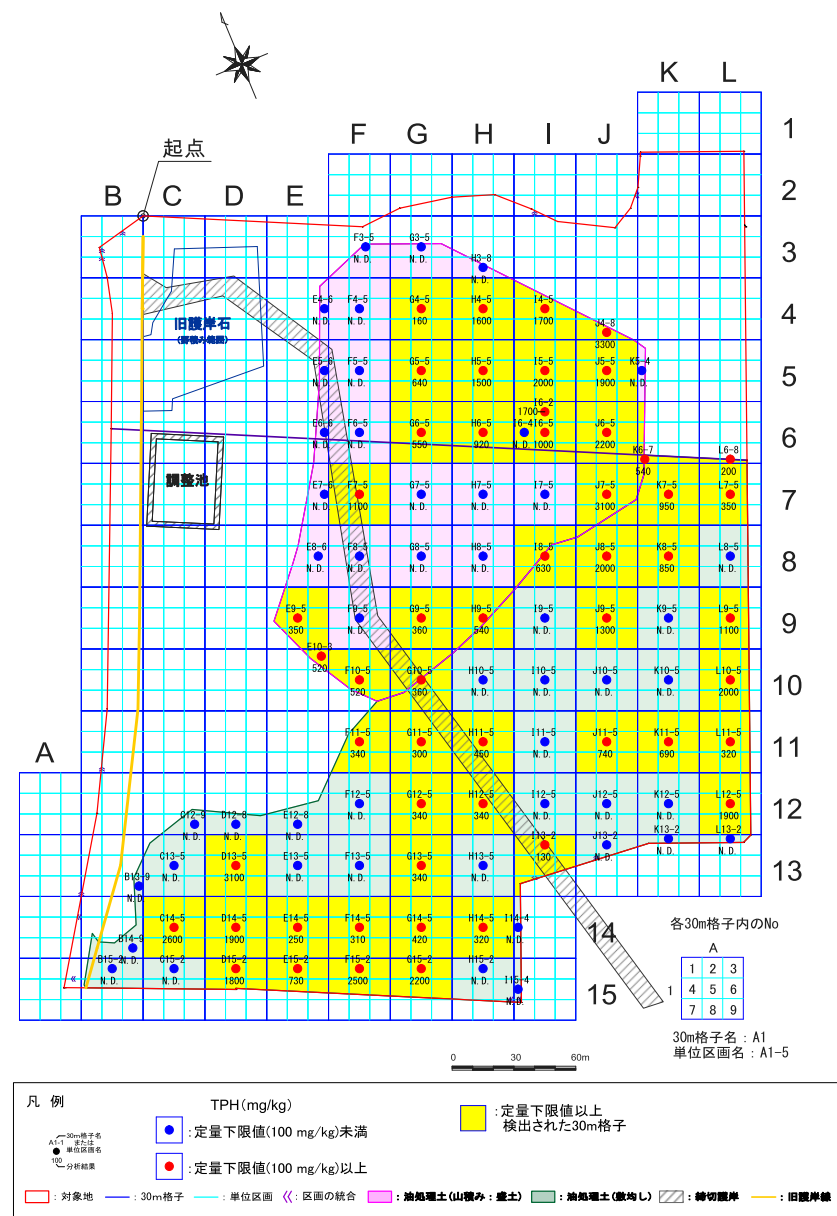


図25 (1) 盛土におけるTPH (C6-C44) の平面分布

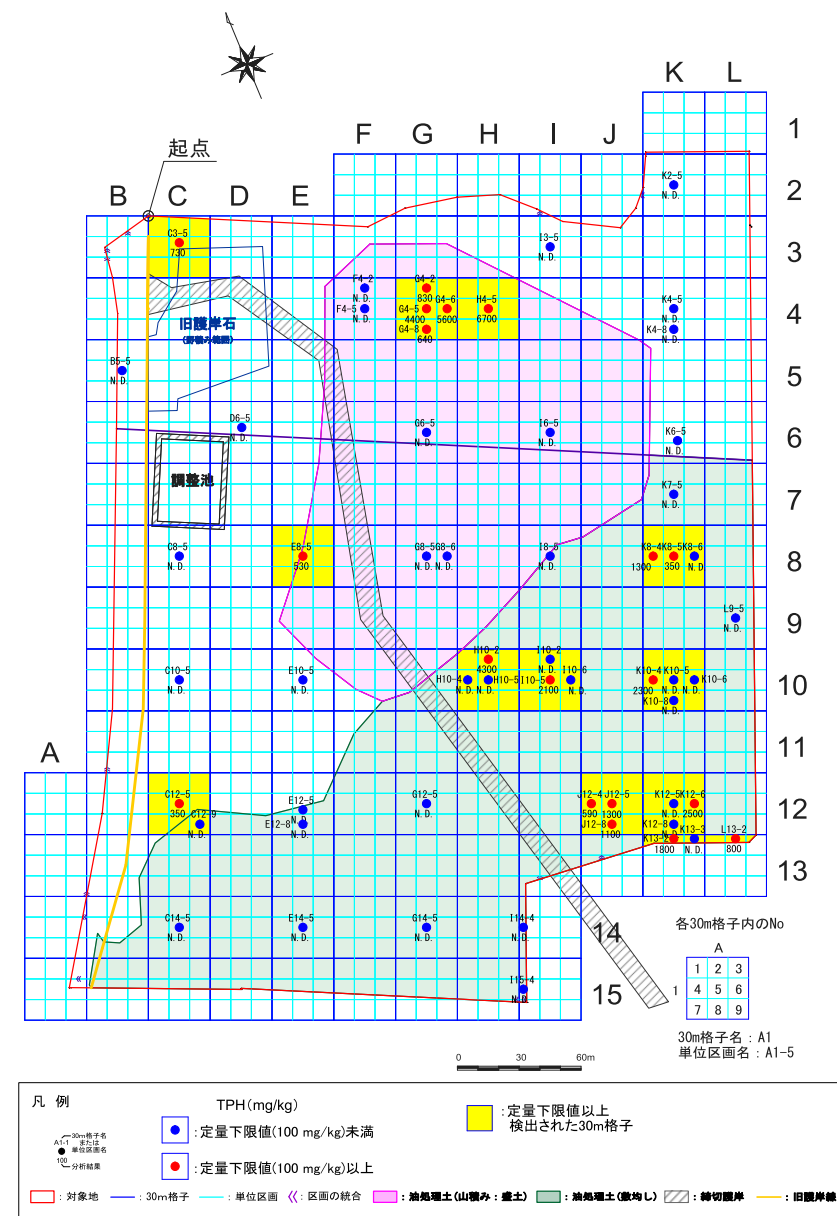


図25 (2) 埋土におけるTPH (C6-C44) の平面分布

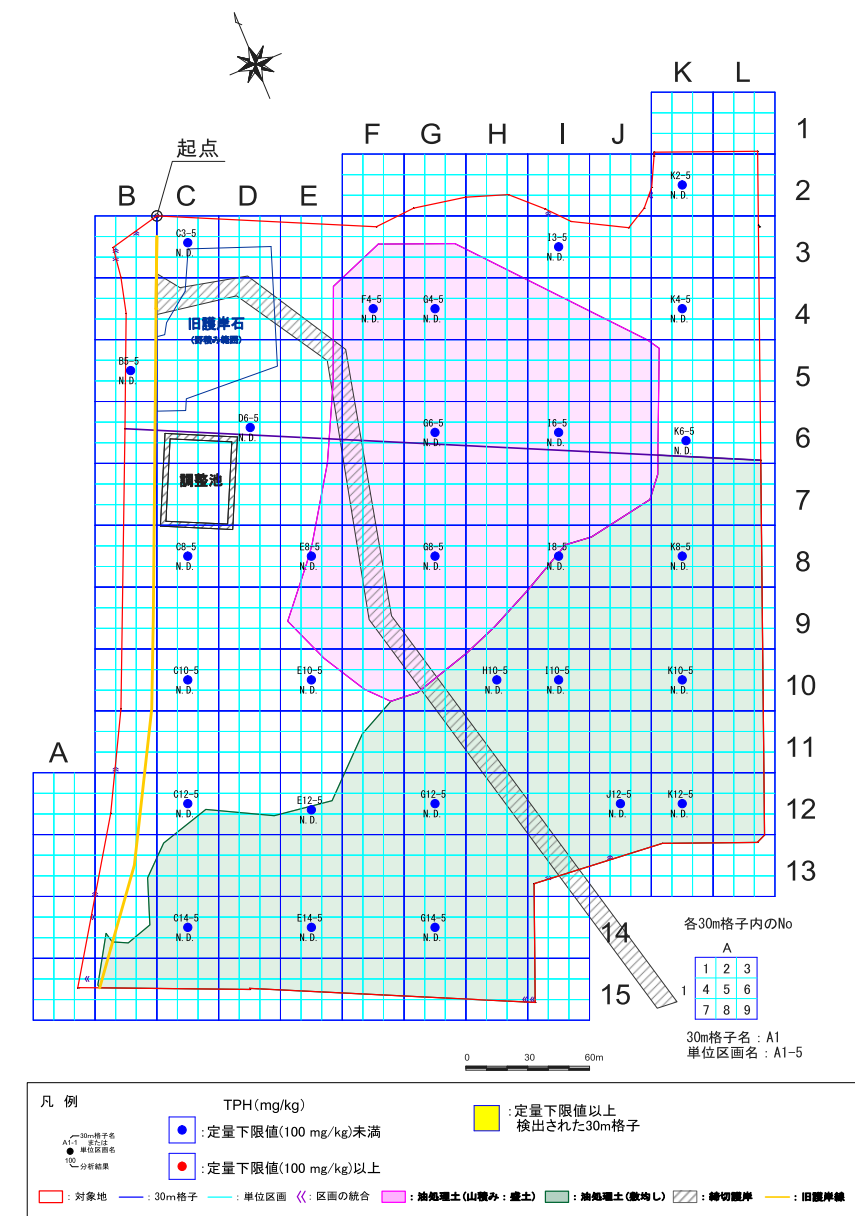


図25 (3) 自然地盤におけるTPH (C6-C44) の平面分布